

FIG. 1

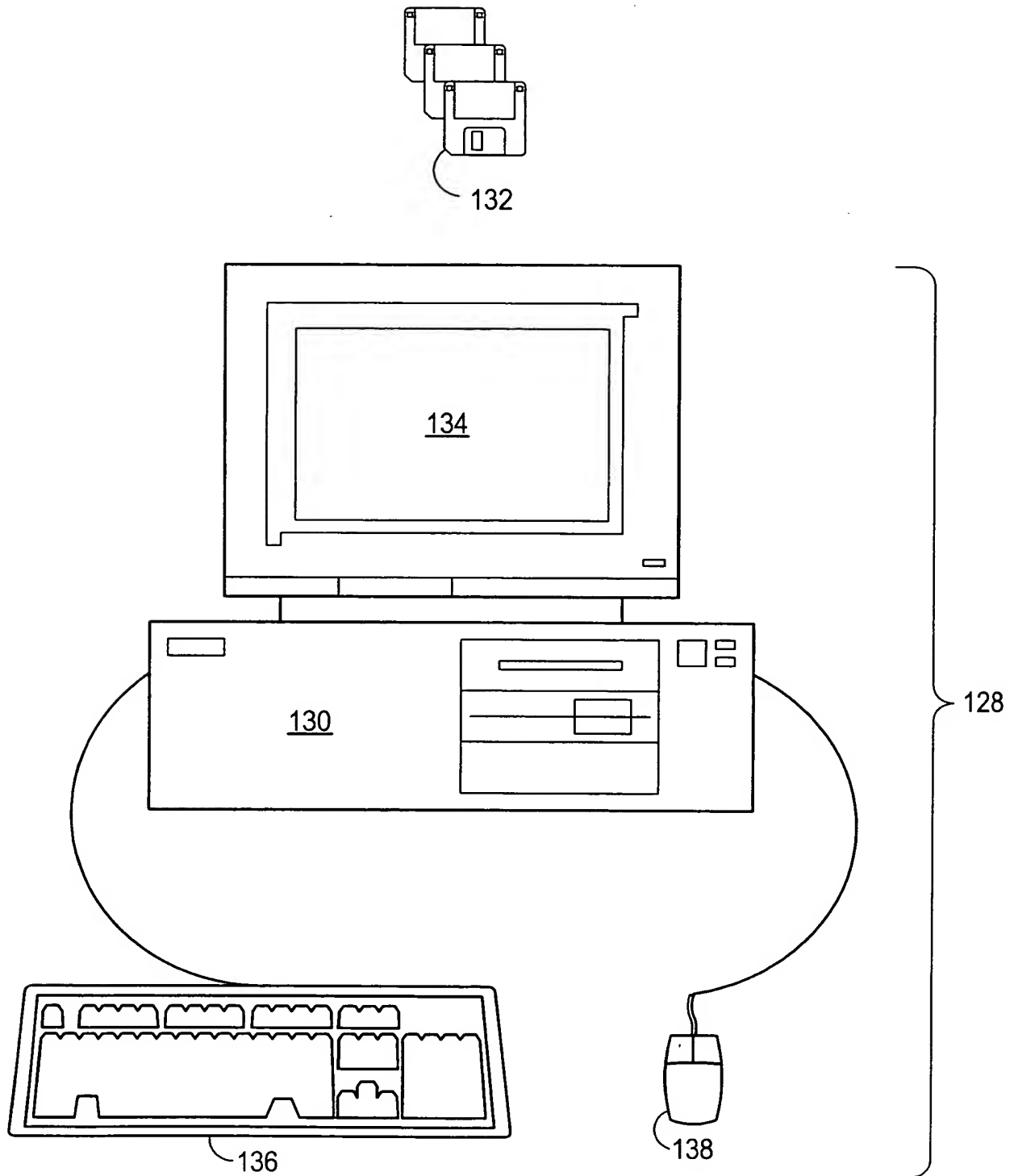


FIG. 2

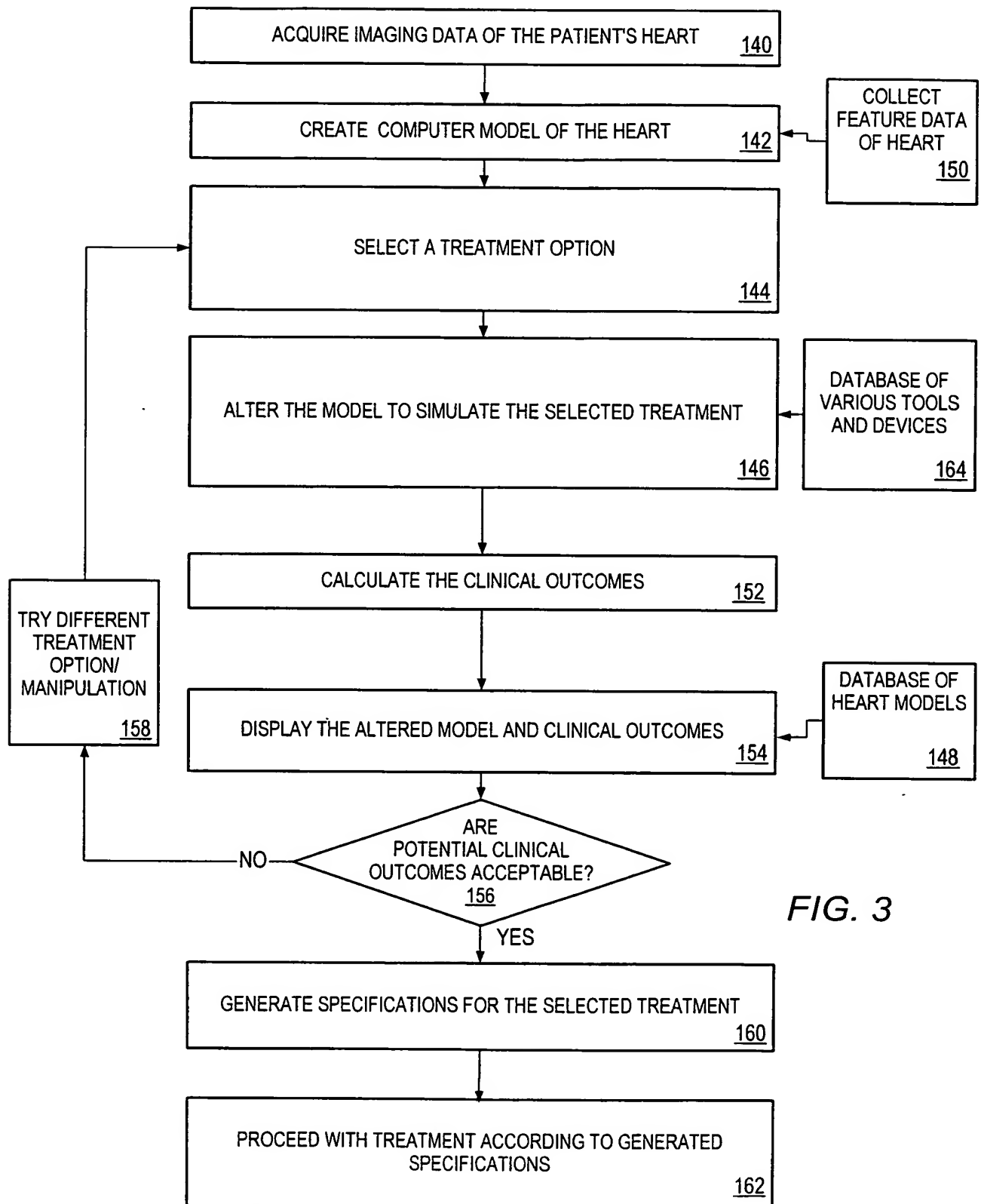


FIG. 3

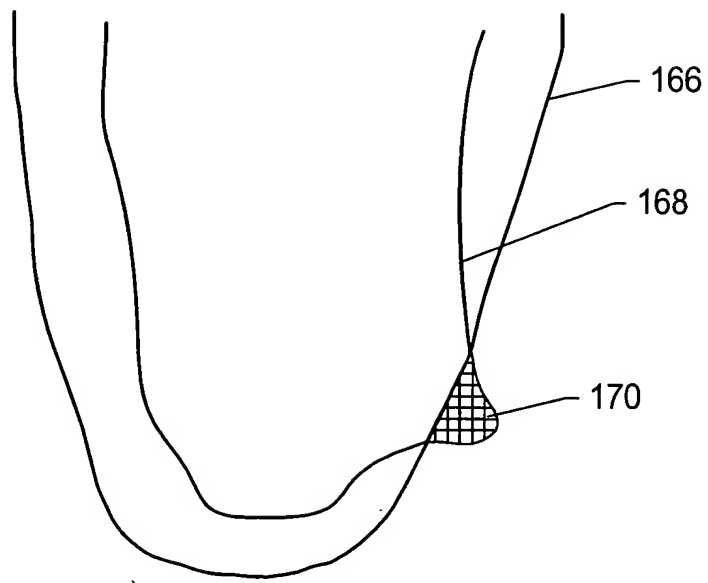
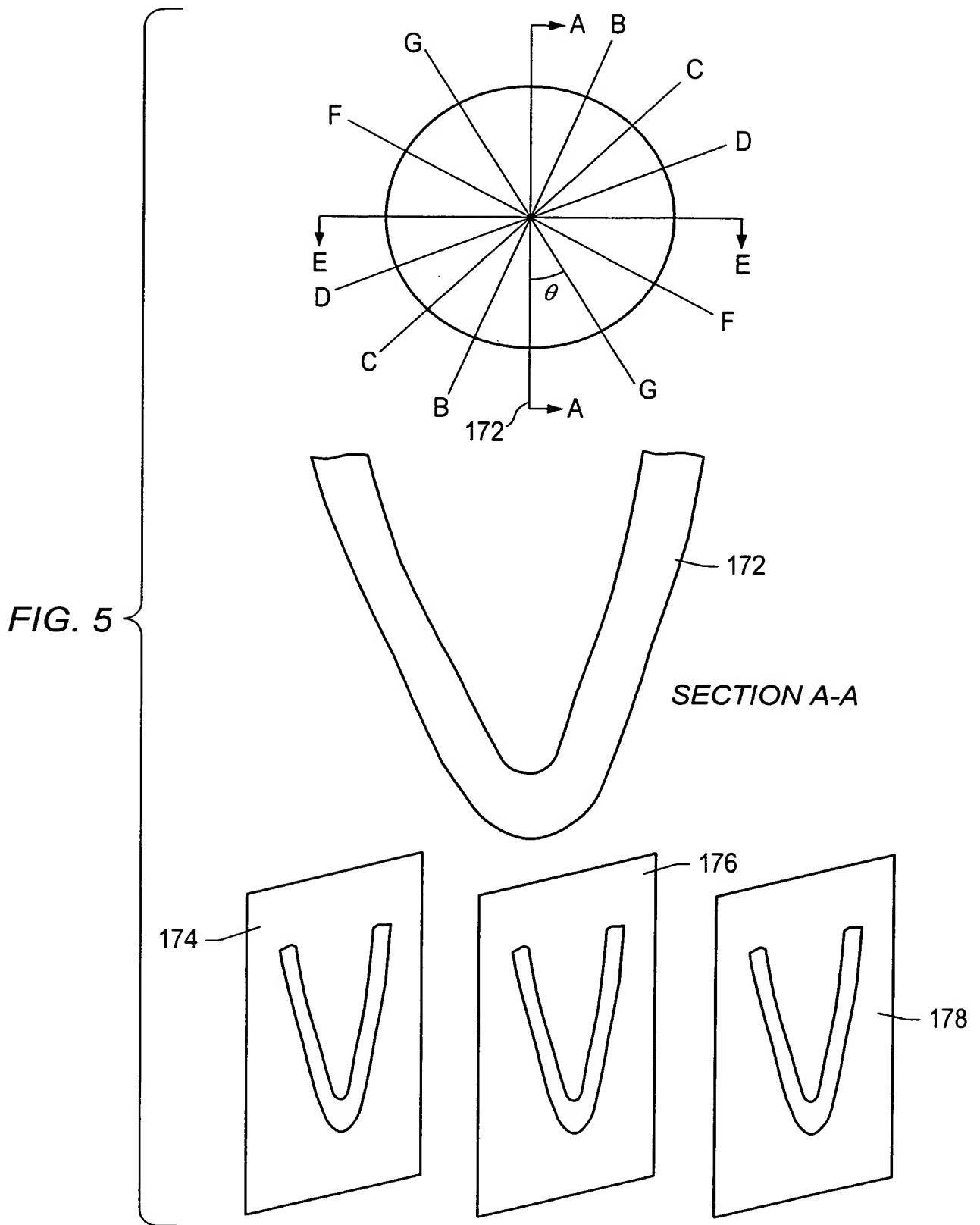
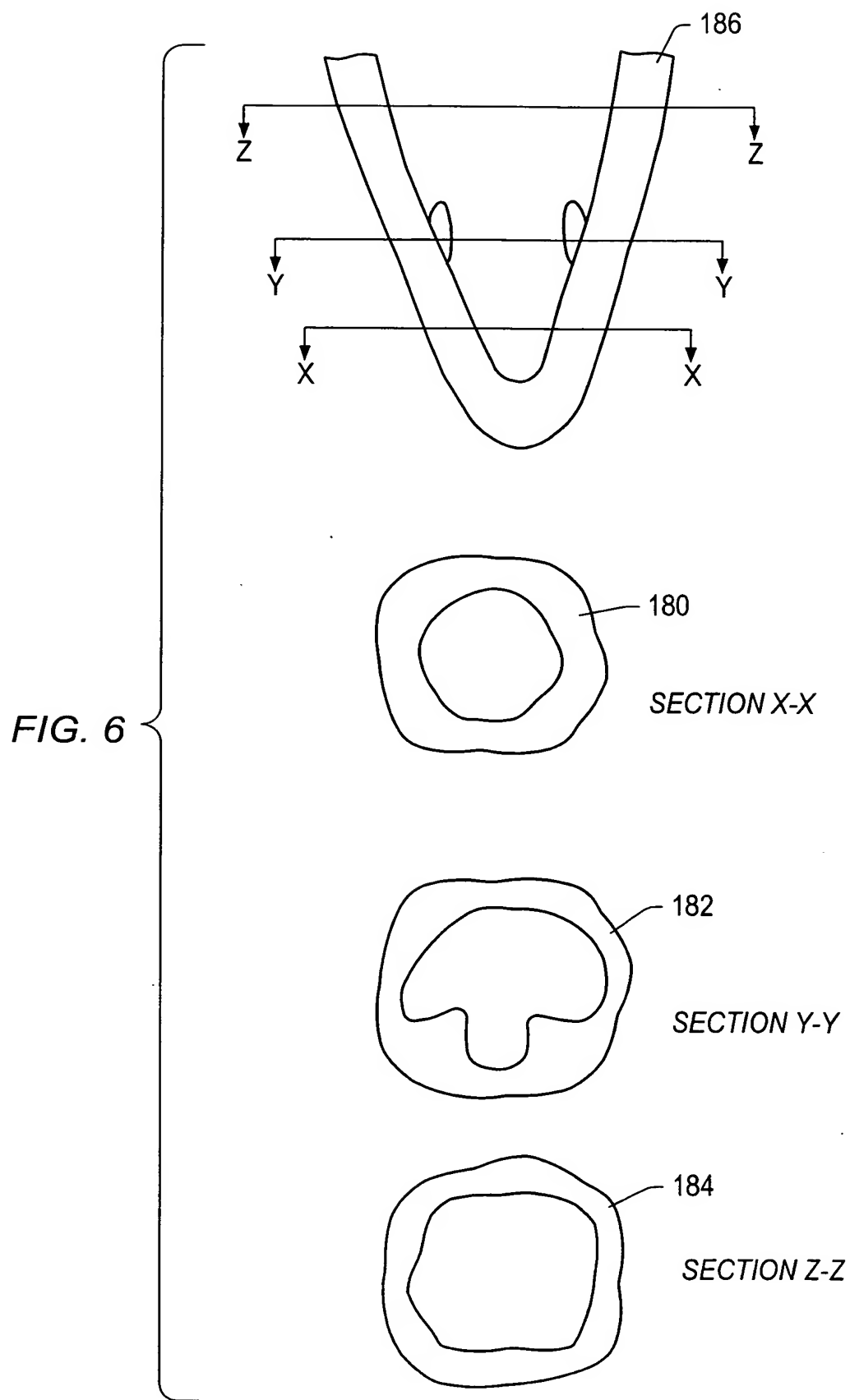
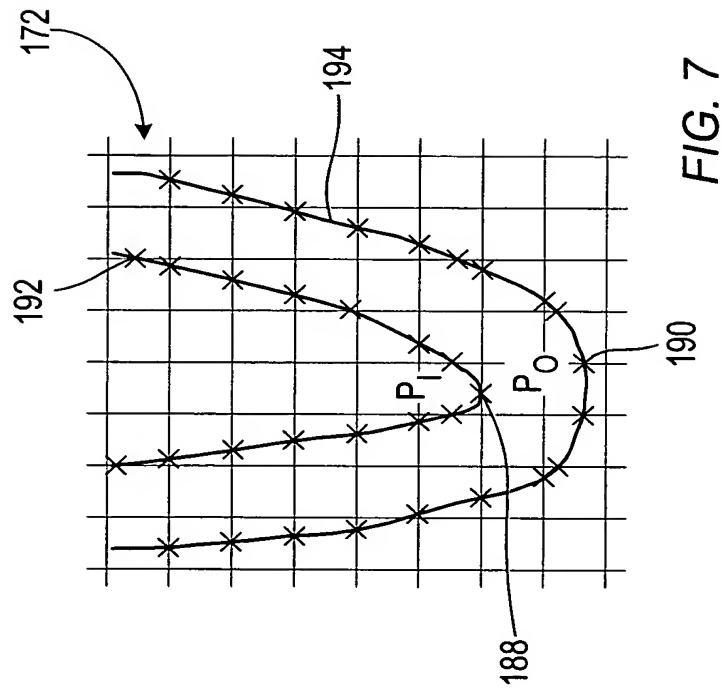


FIG. 4







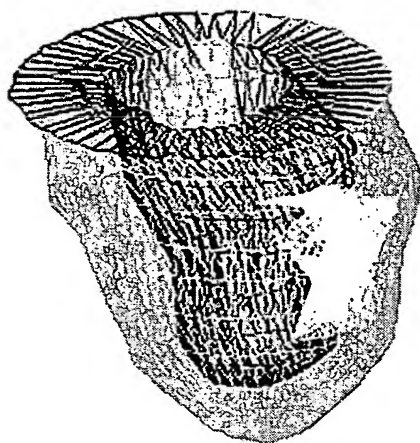


FIG. 8



FIG. 9

9/56

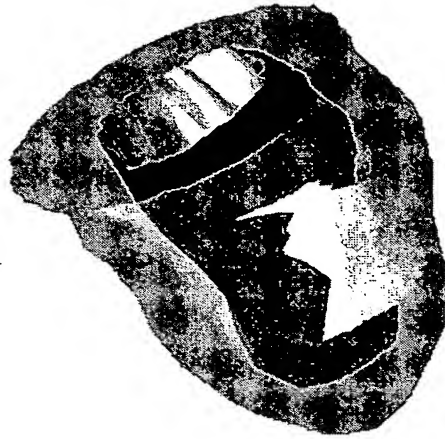


FIG. 10



FIG. 11



FIG. 12

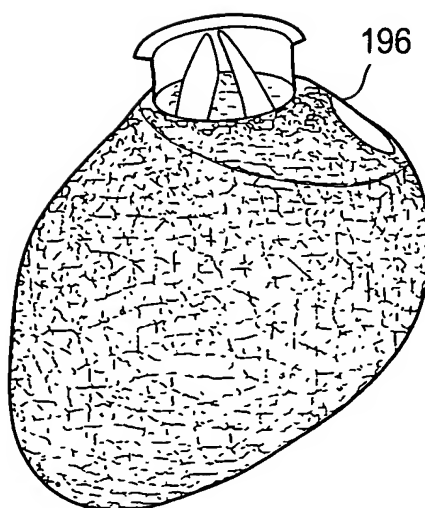
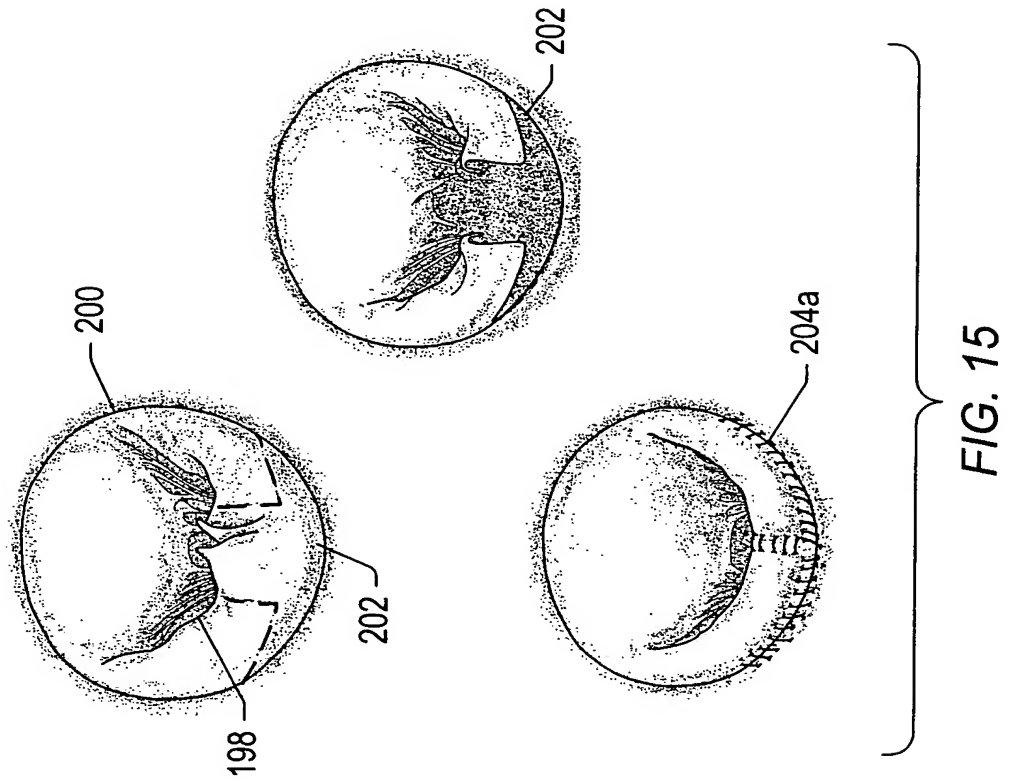
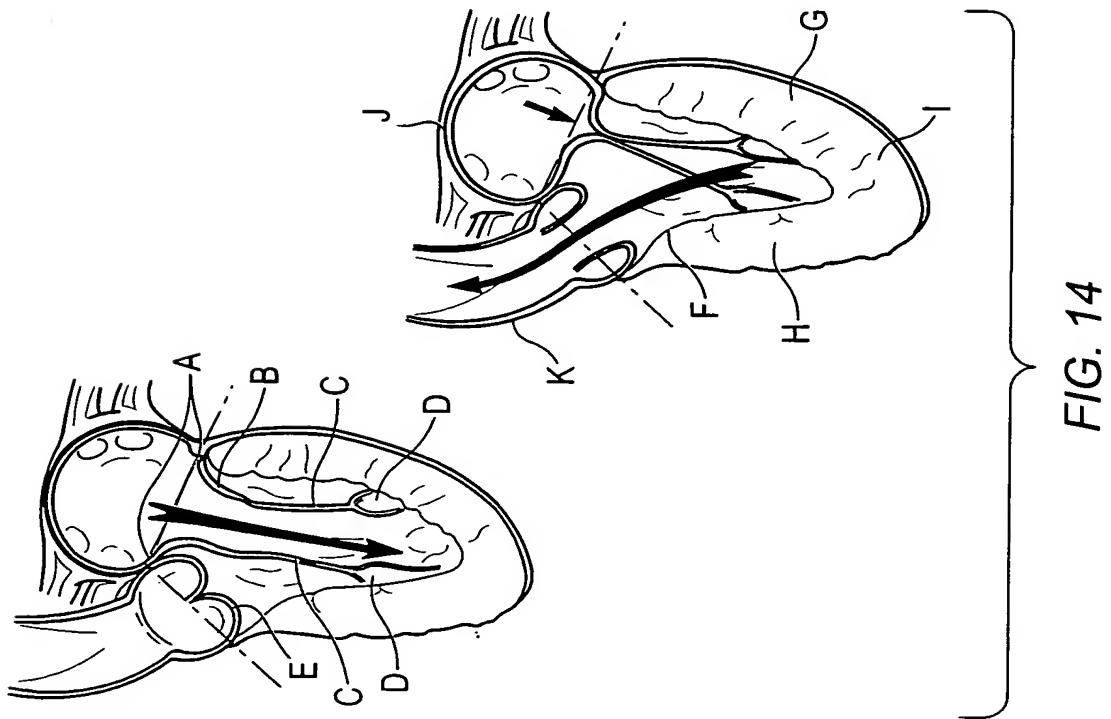


FIG. 13



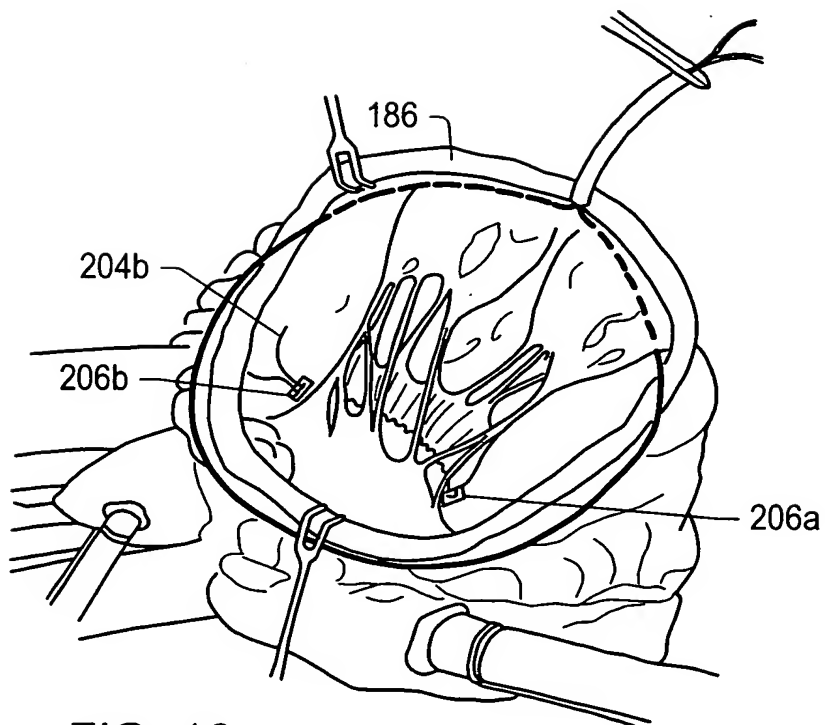


FIG. 16

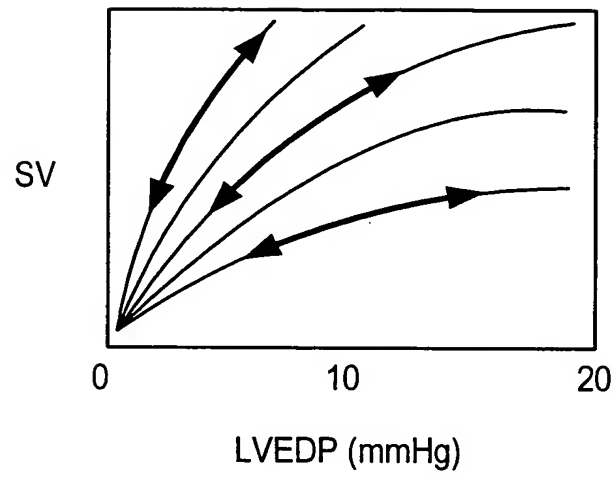


FIG. 17

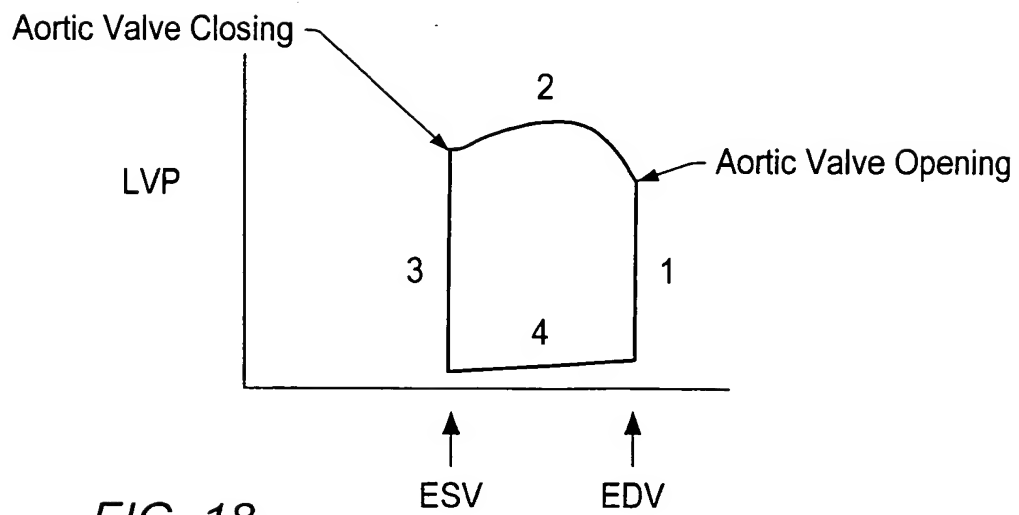


FIG. 18

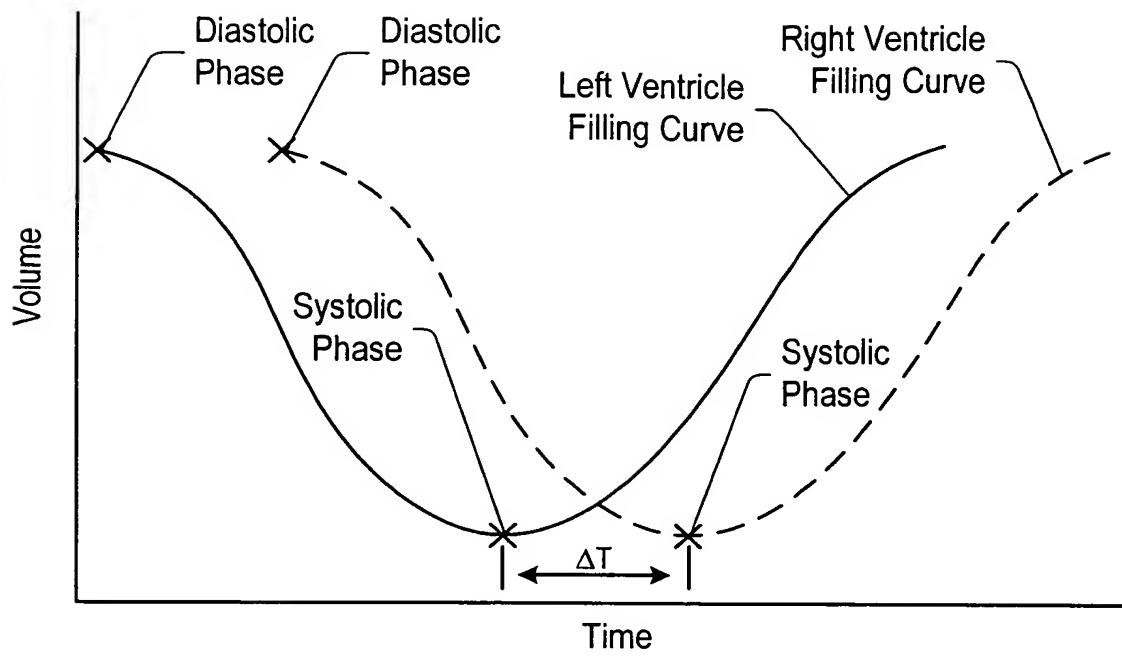


FIG. 19

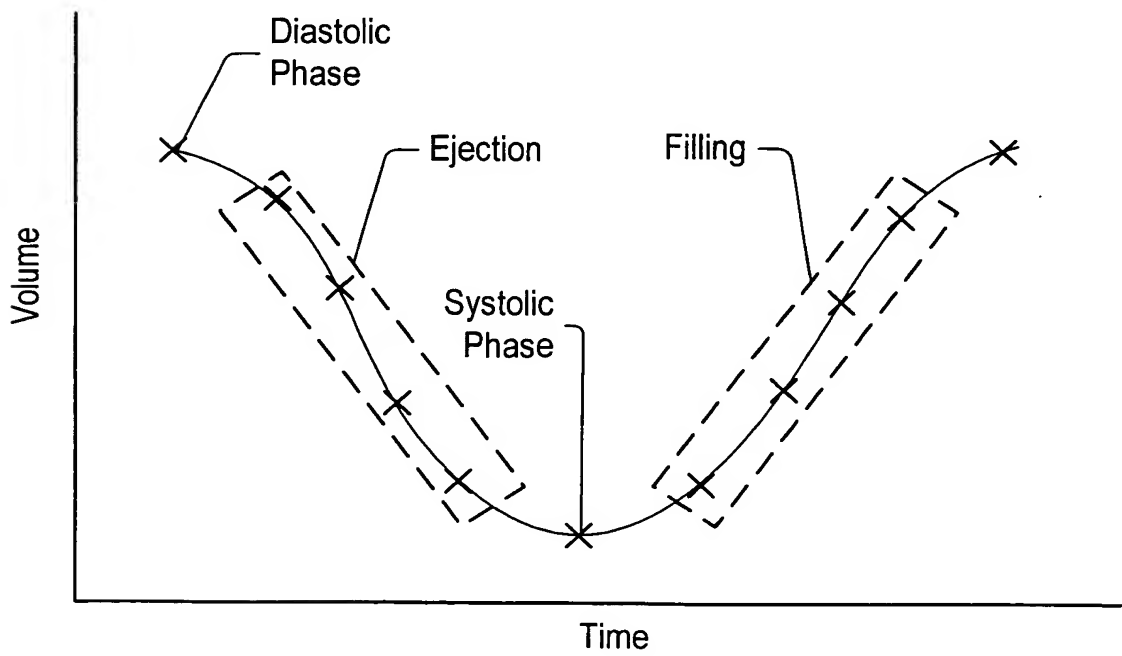
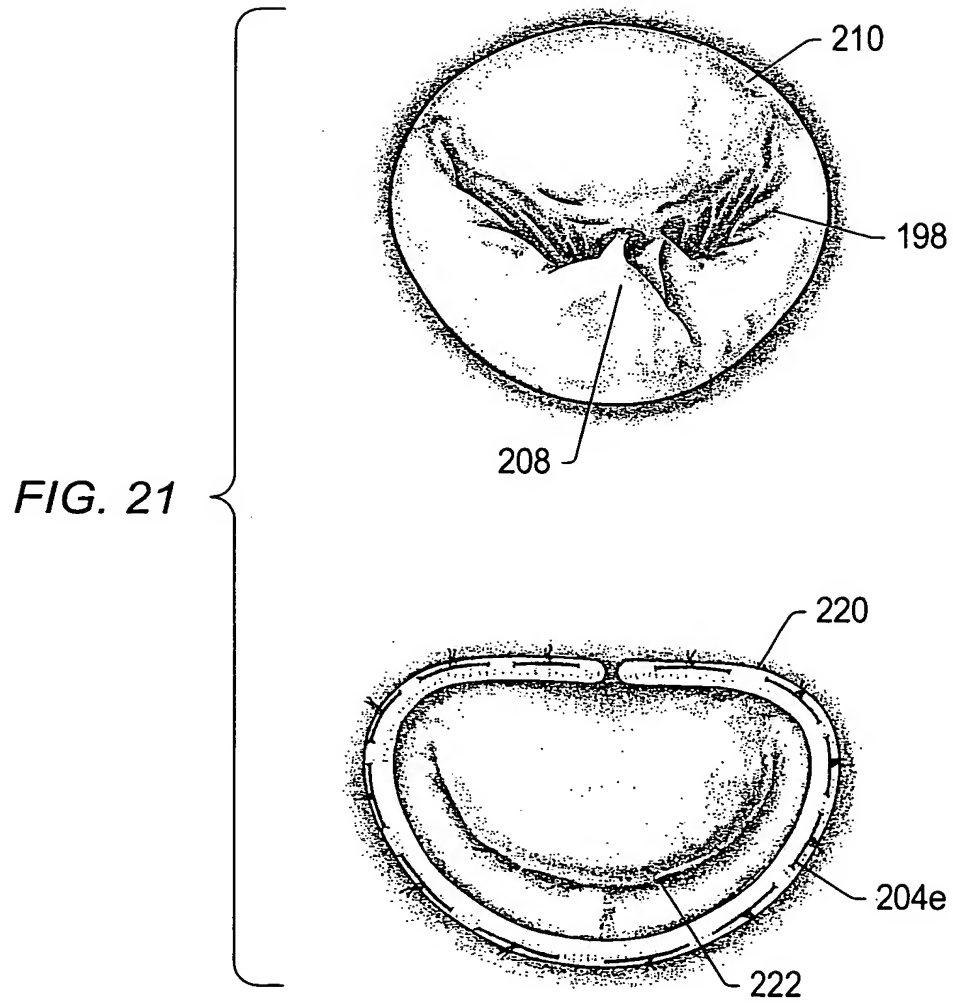


FIG. 20



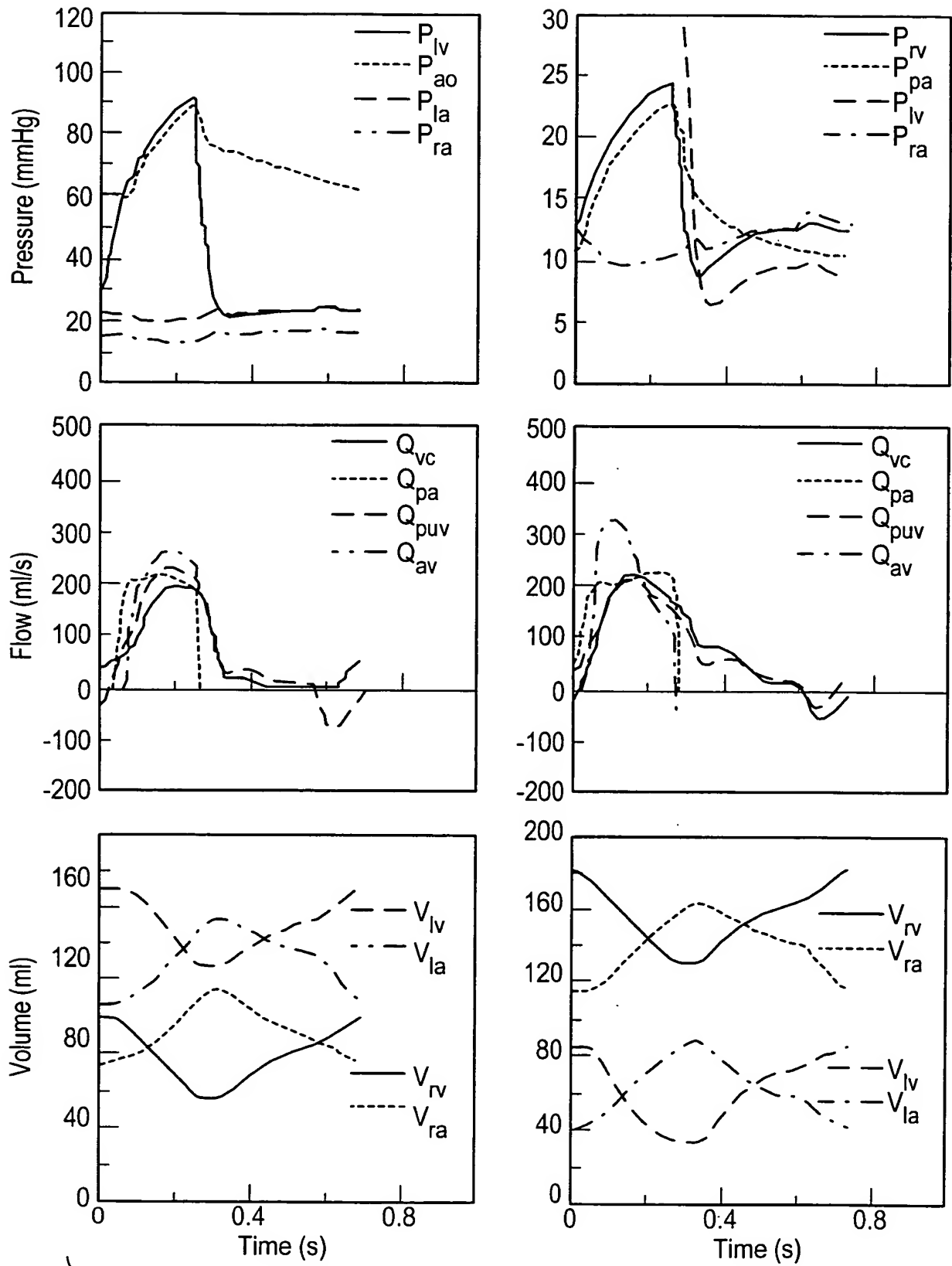


FIG. 22

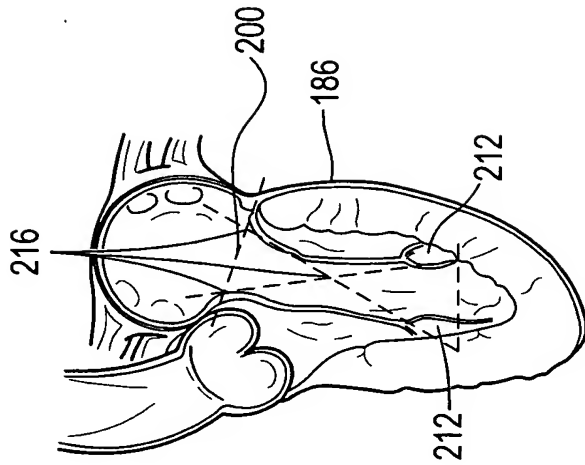


FIG. 24

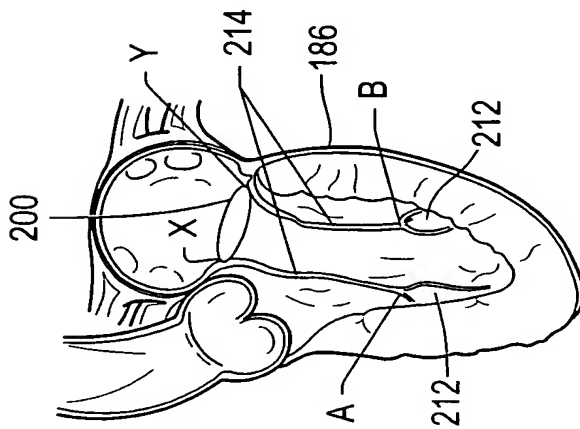


FIG. 23

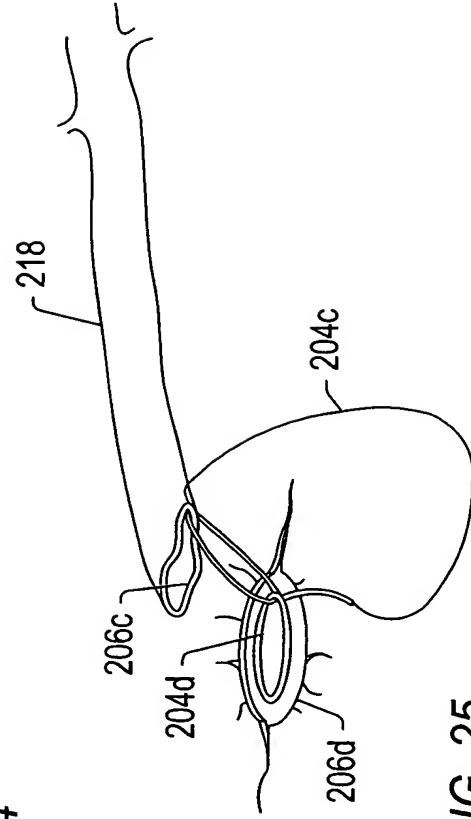


FIG. 25

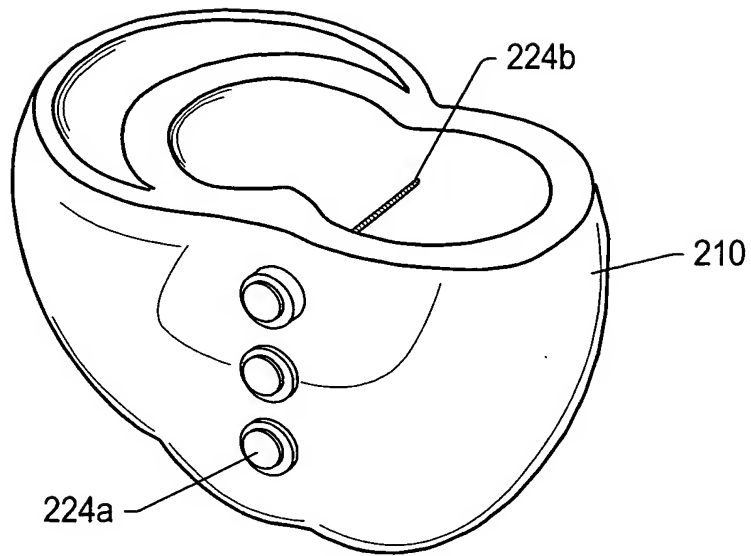


FIG. 26

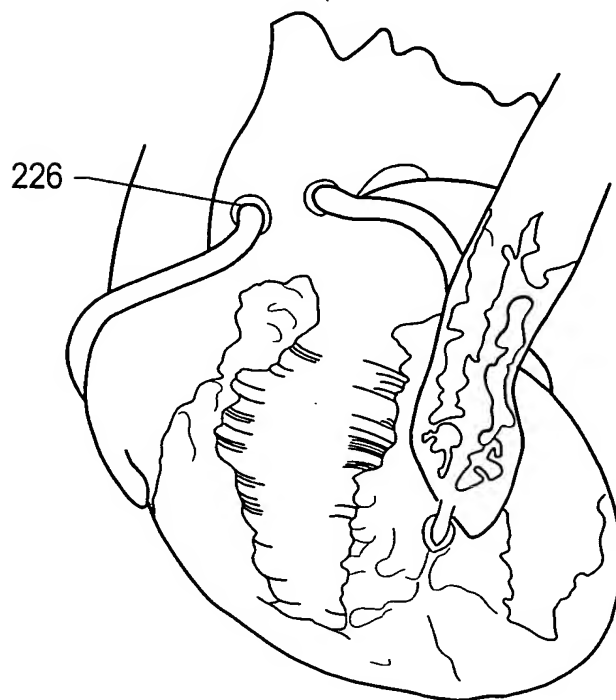


FIG. 27

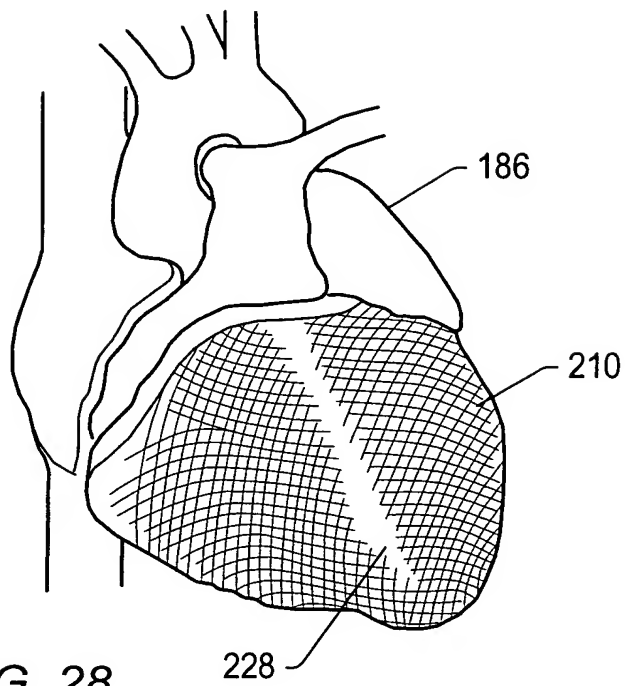


FIG. 28

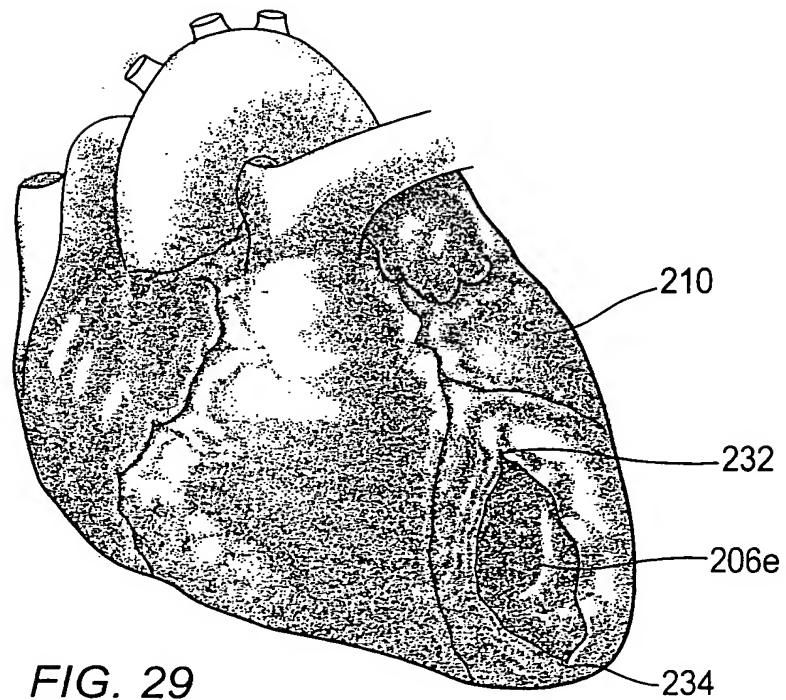


FIG. 29

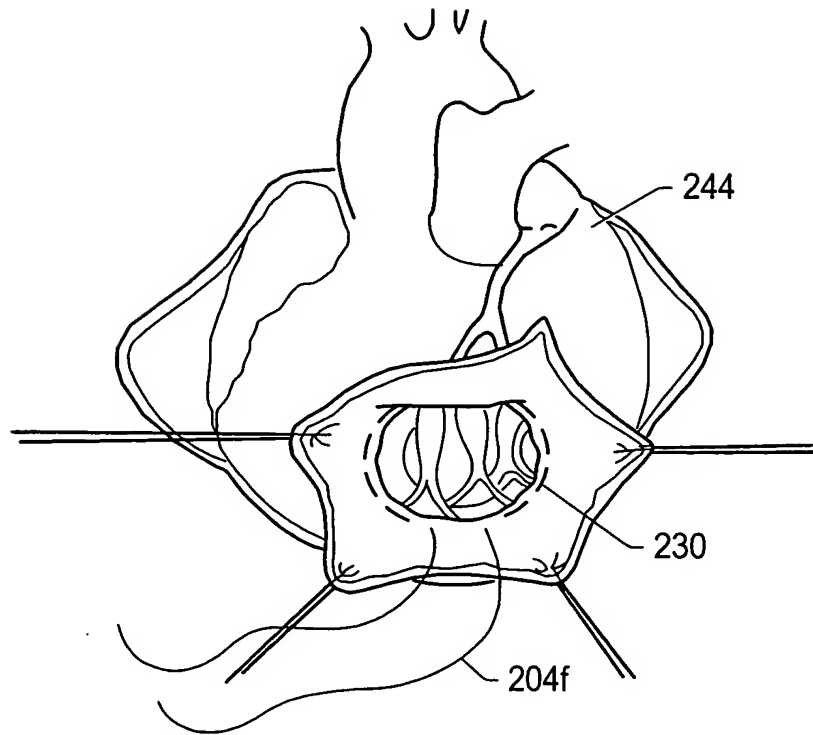


FIG. 30

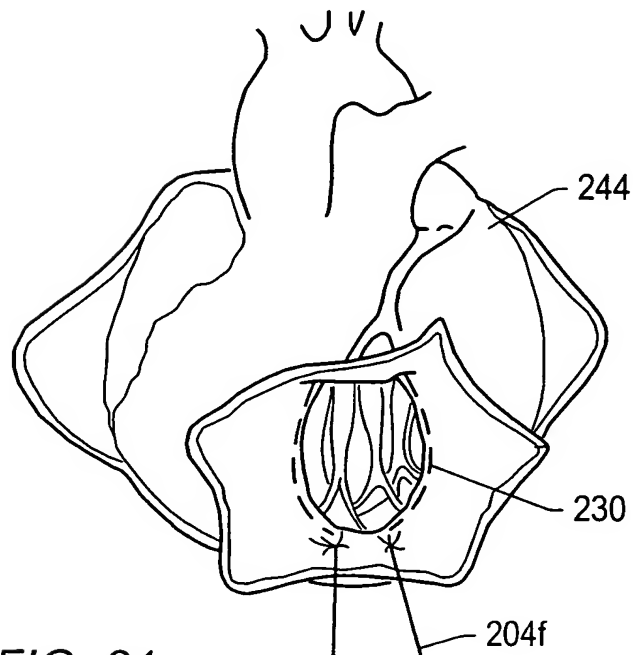


FIG. 31

Tension Tension

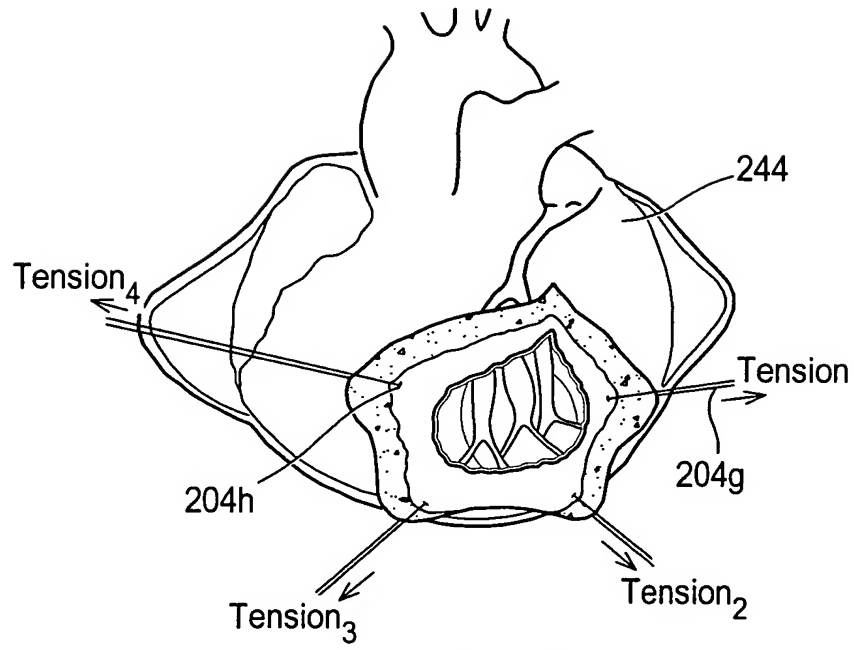


FIG. 32

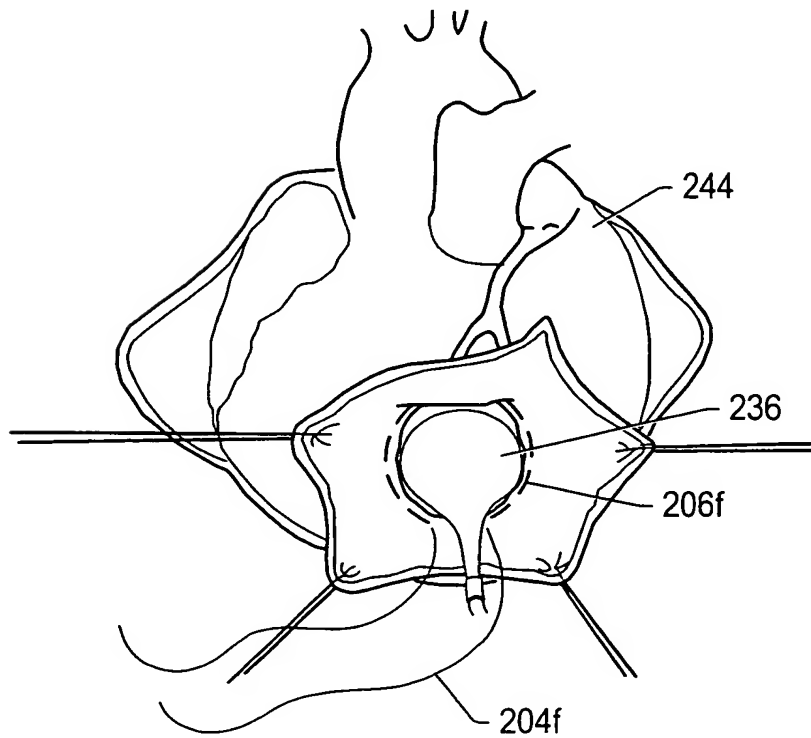


FIG. 33

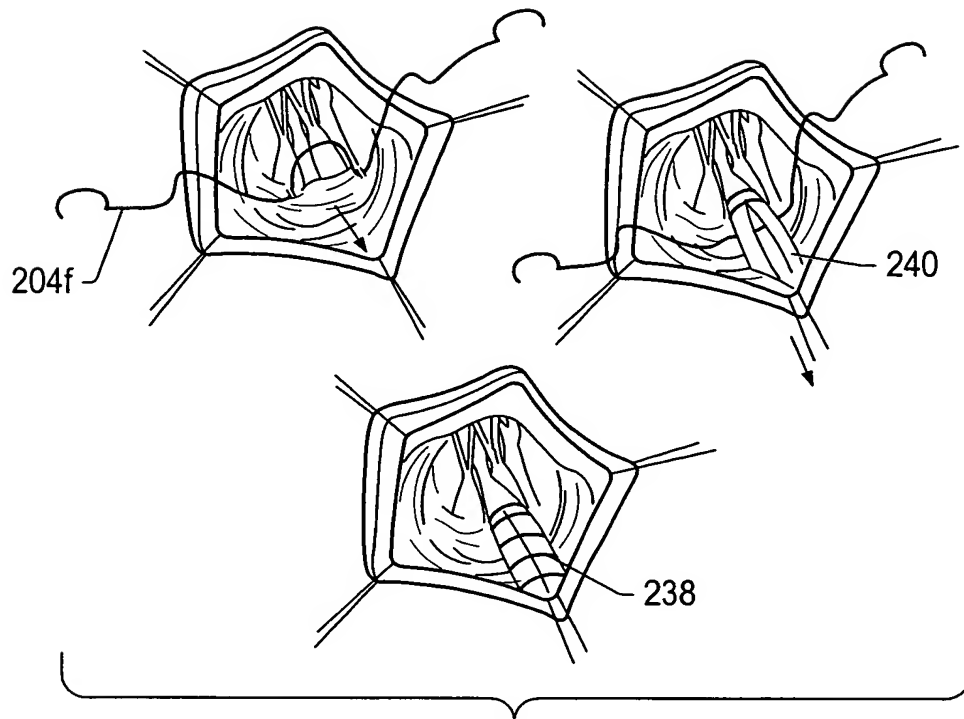


FIG. 34

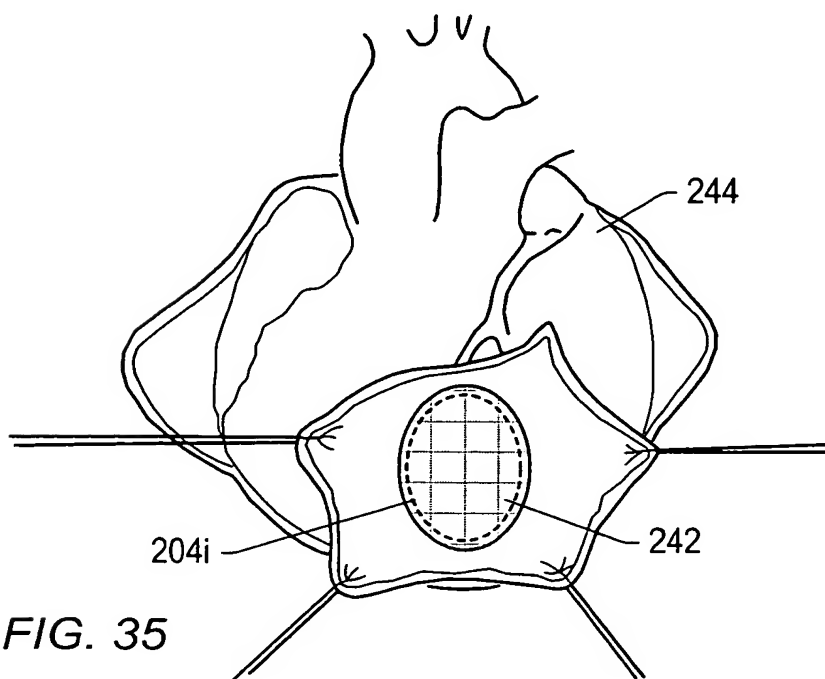


FIG. 35

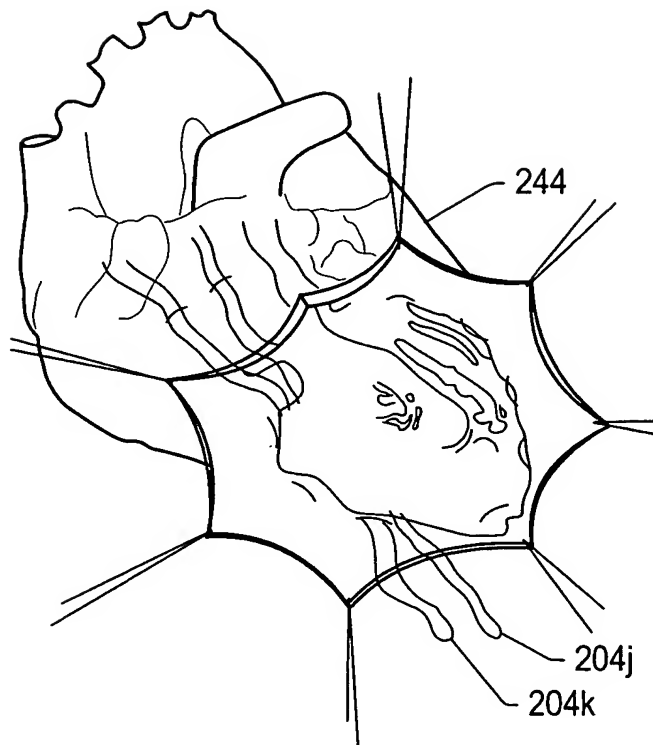


FIG. 36

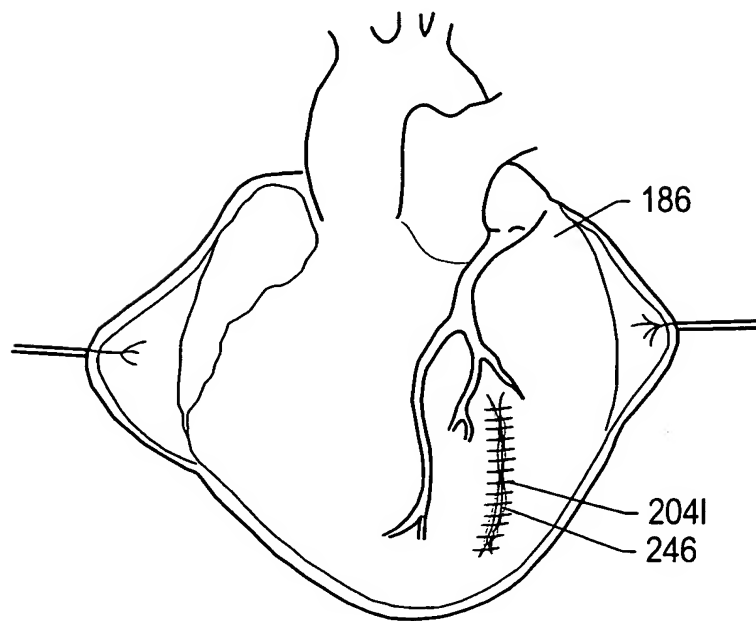


FIG. 37

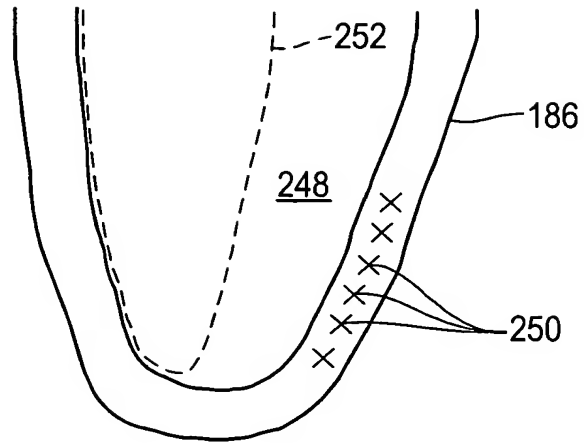


FIG. 38

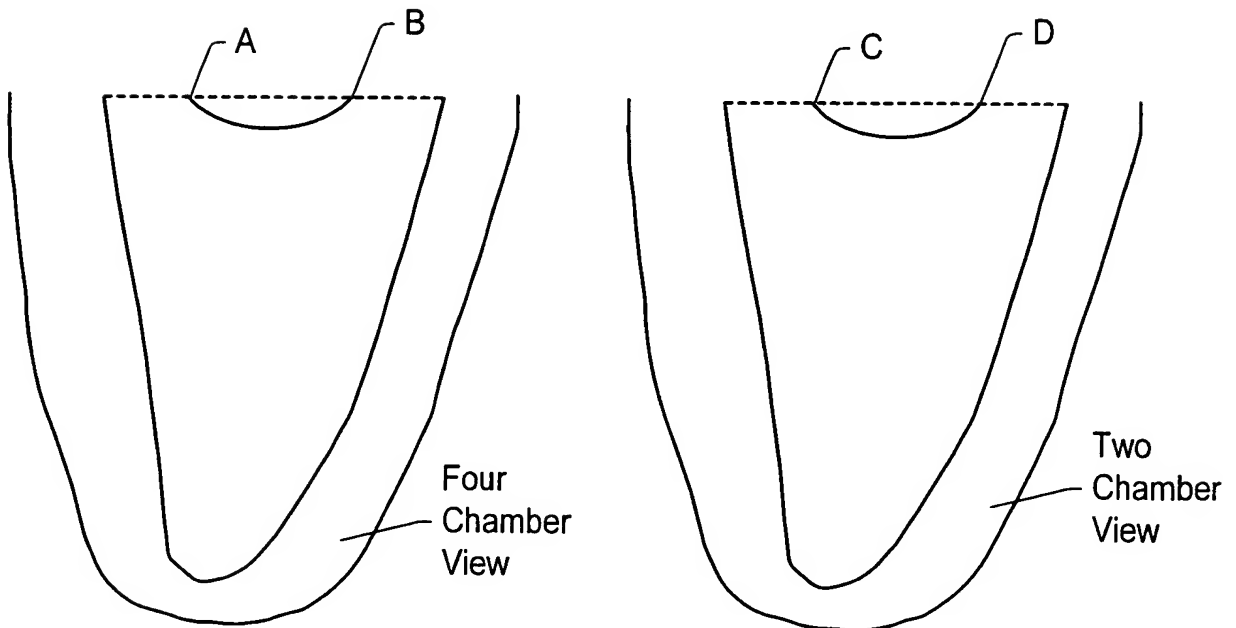
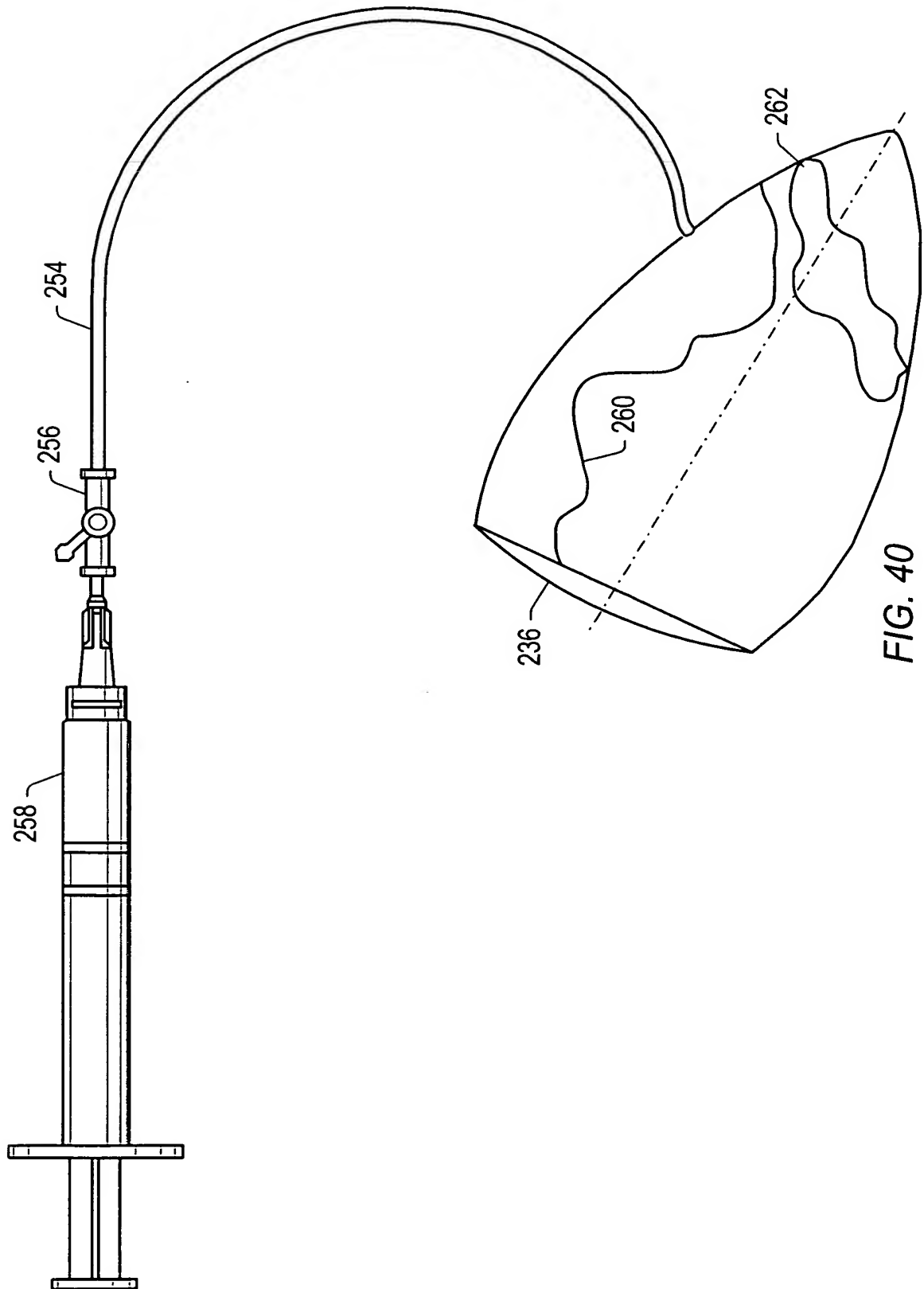
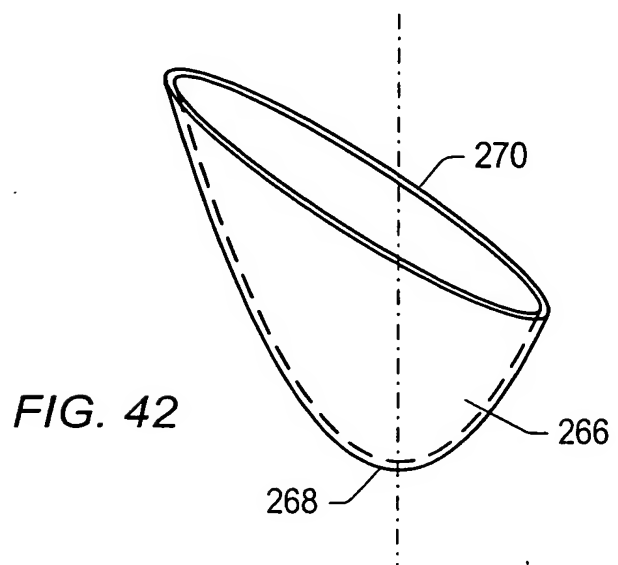
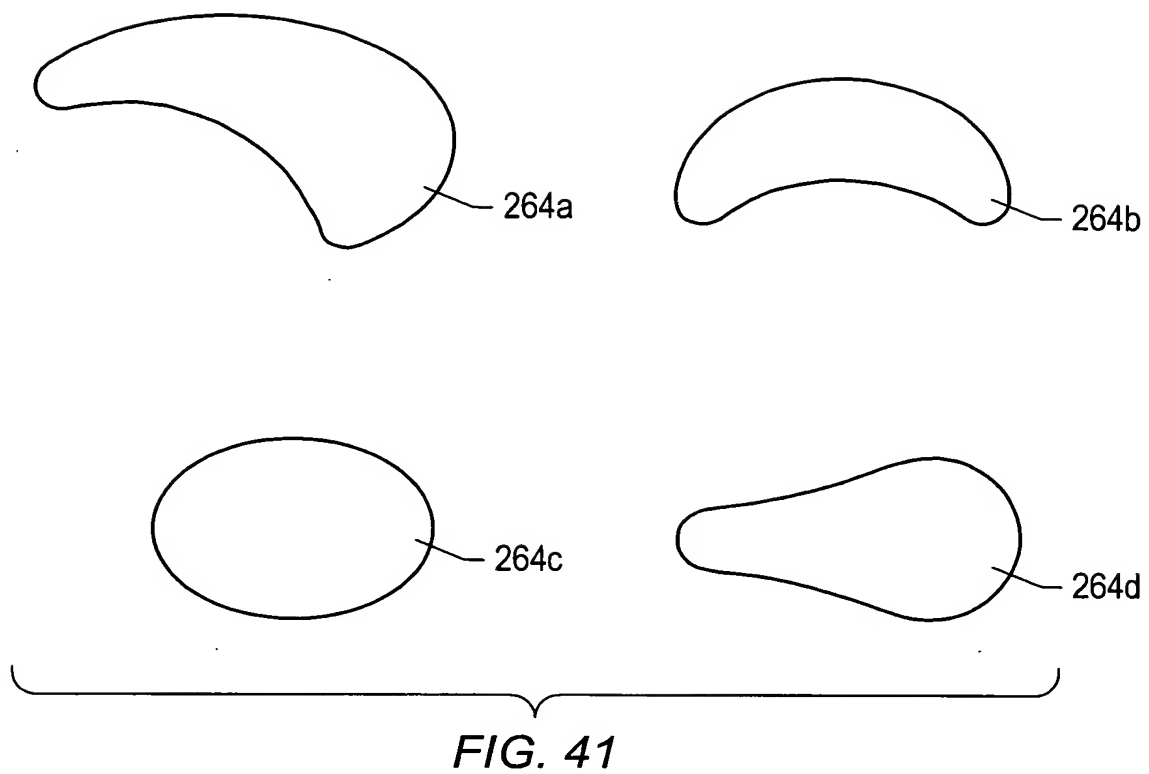


FIG. 39





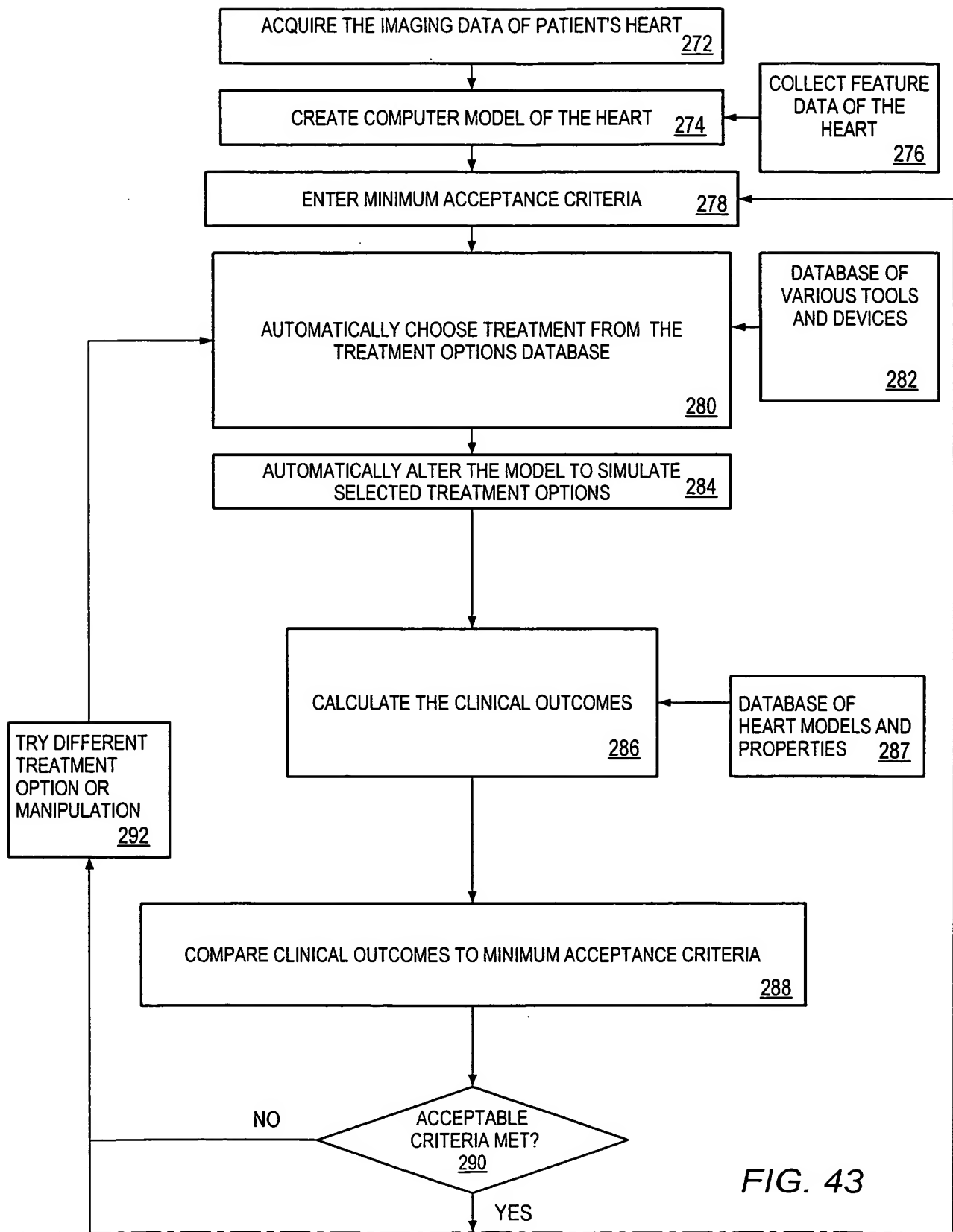


FIG. 43

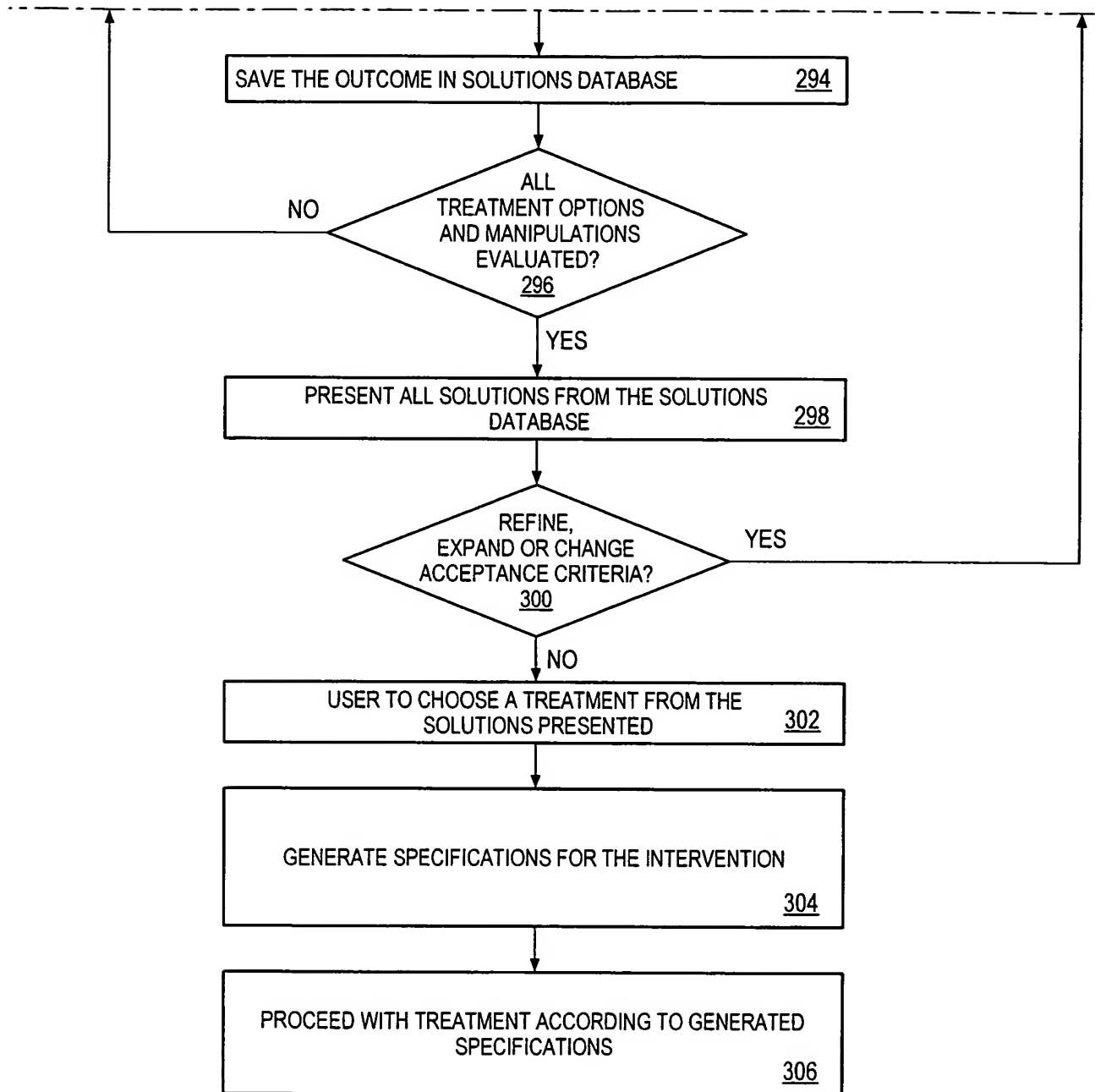


FIG. 43
CONTINUED

*AKINETIC SEGMENT
IDENTIFICATION FLOWCHART*

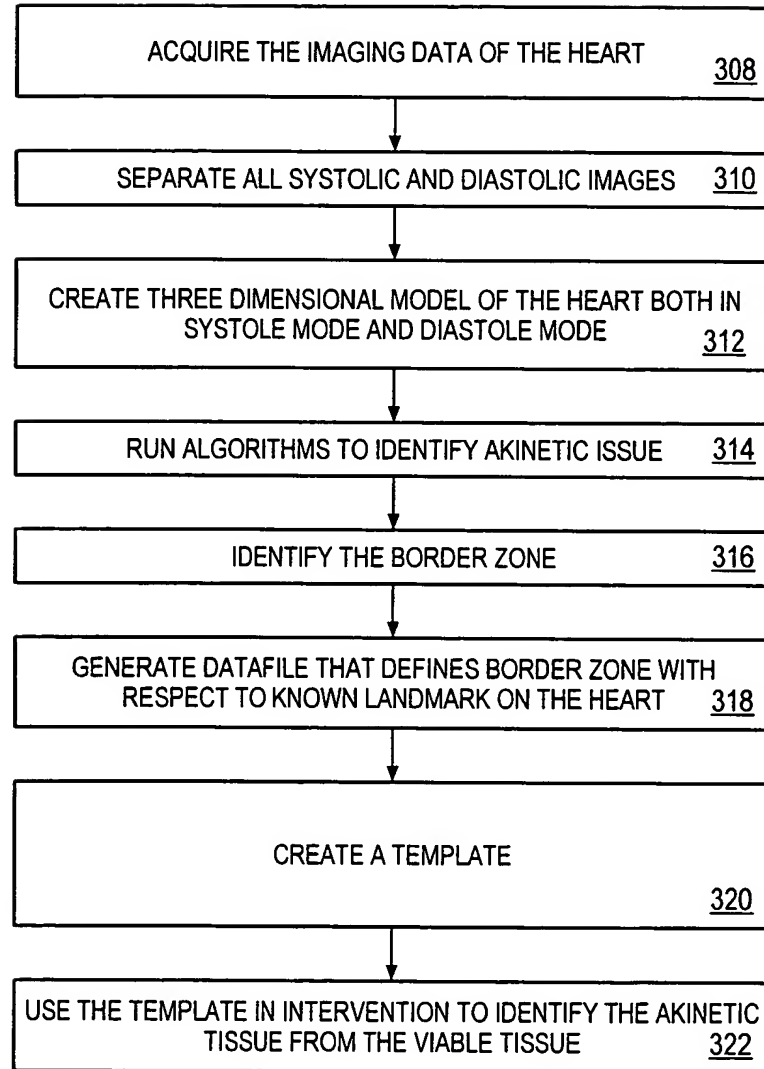
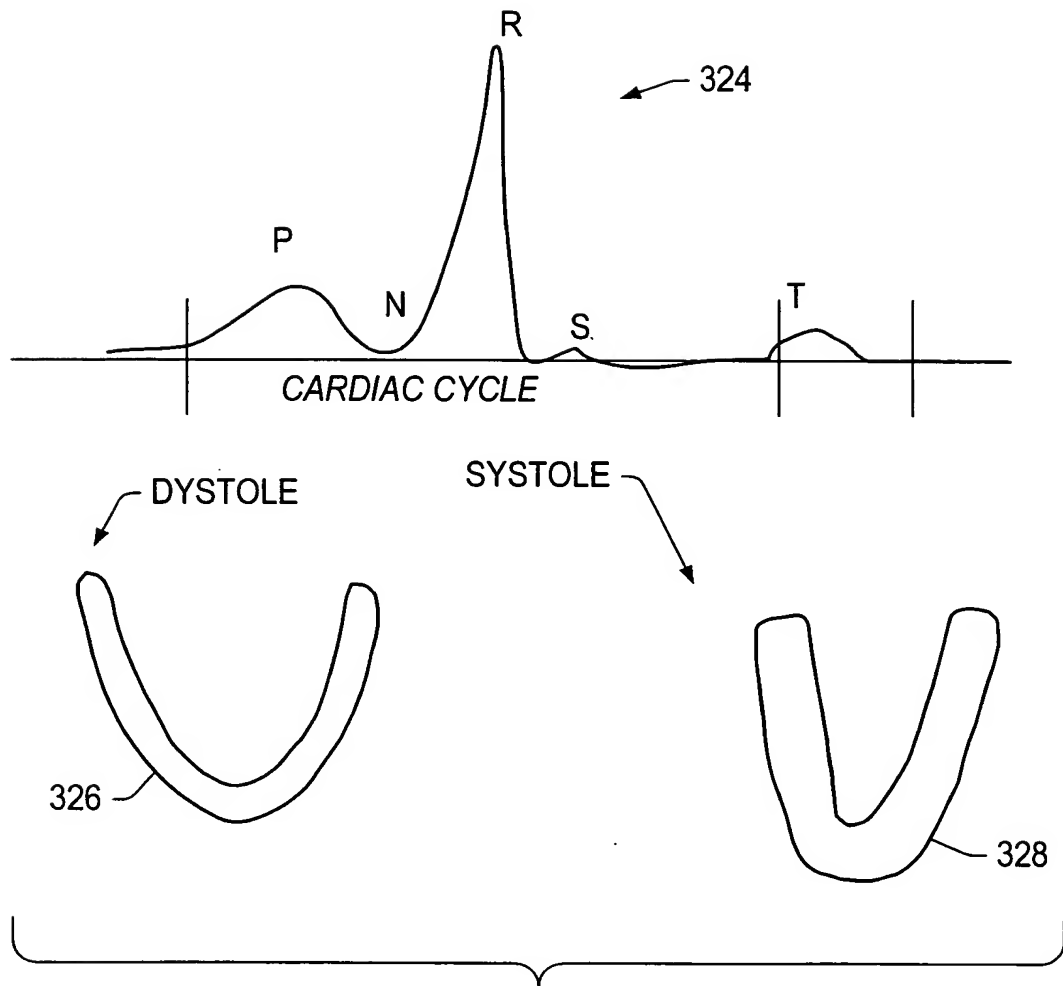
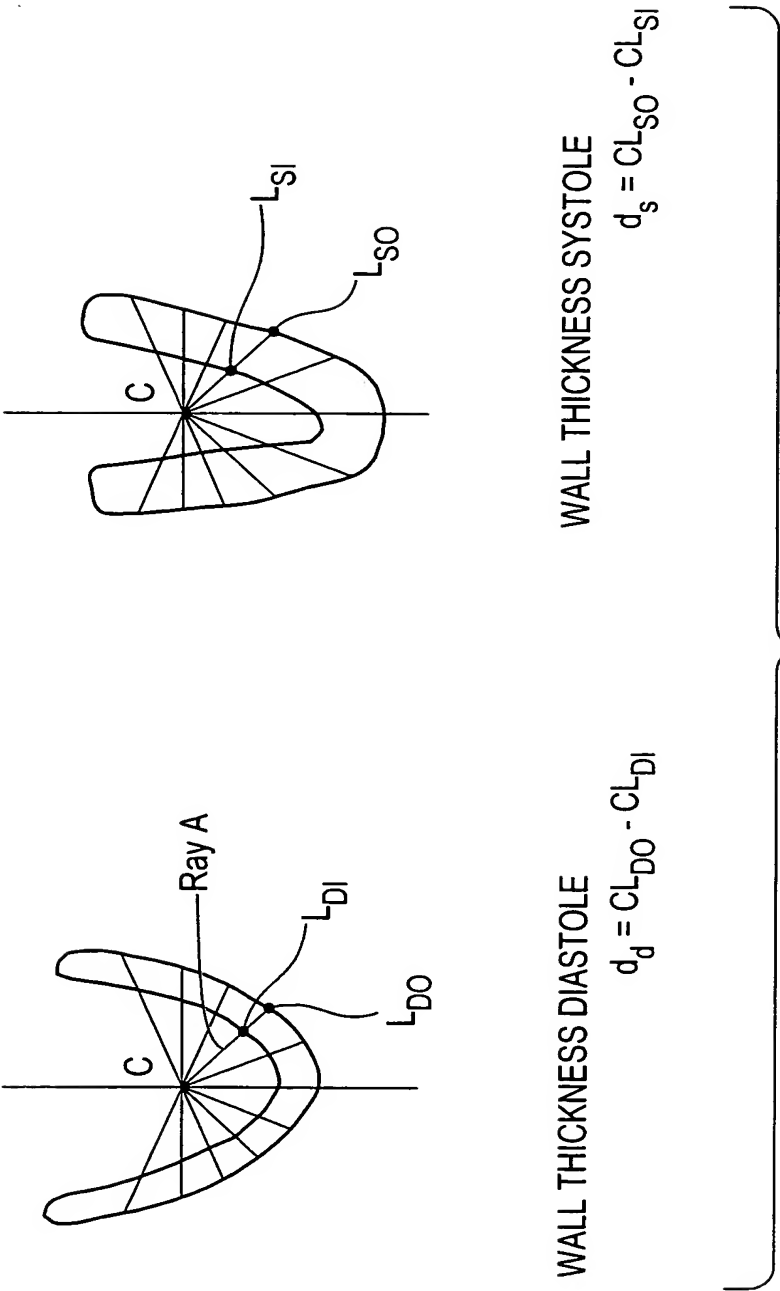


FIG. 44





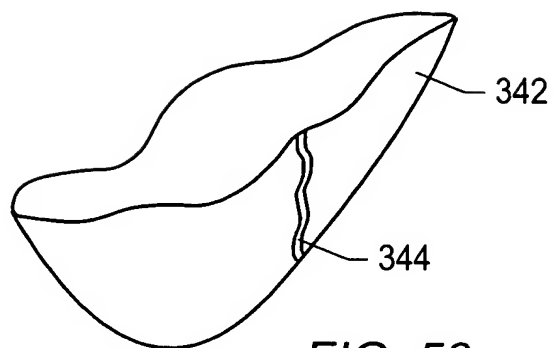


FIG. 50

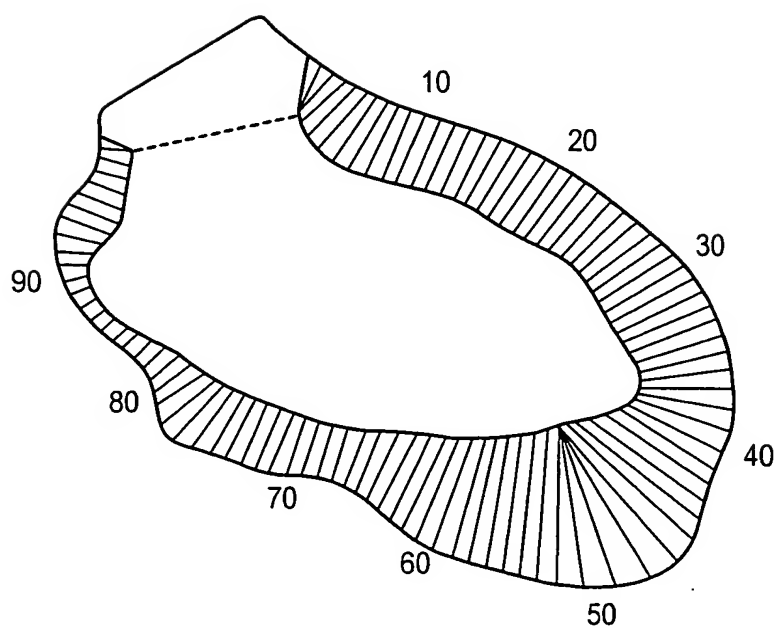


FIG. 51

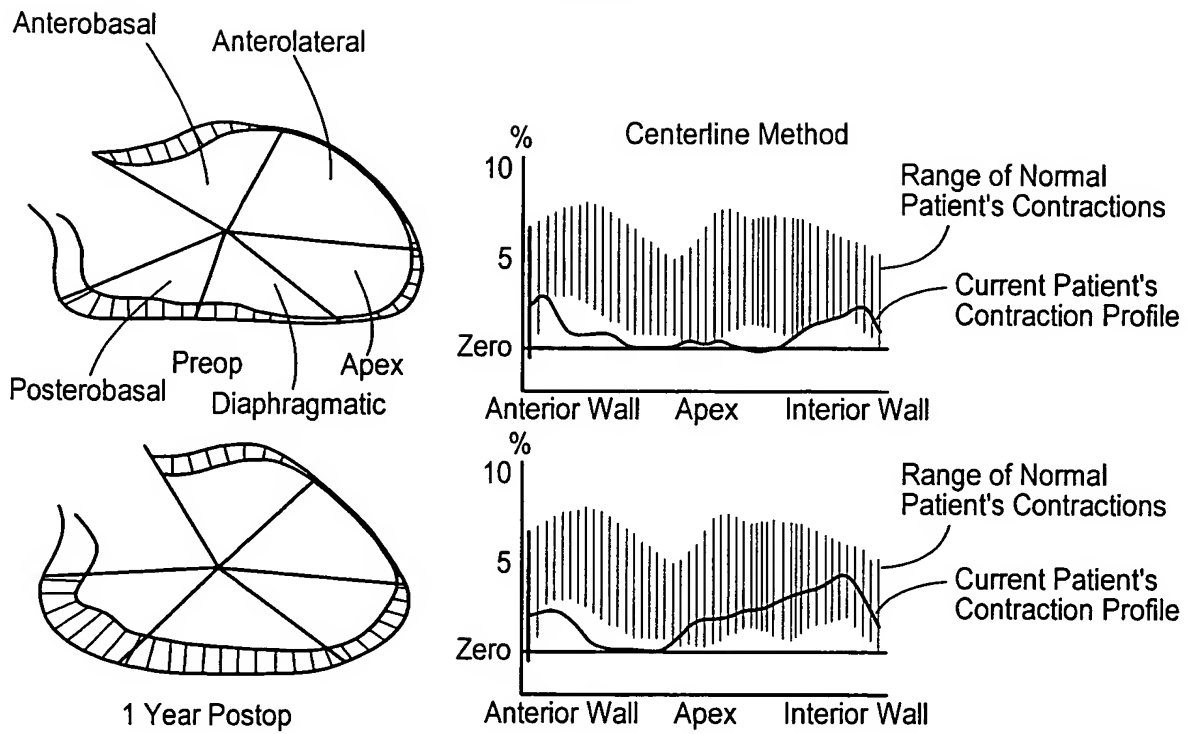


FIG. 52

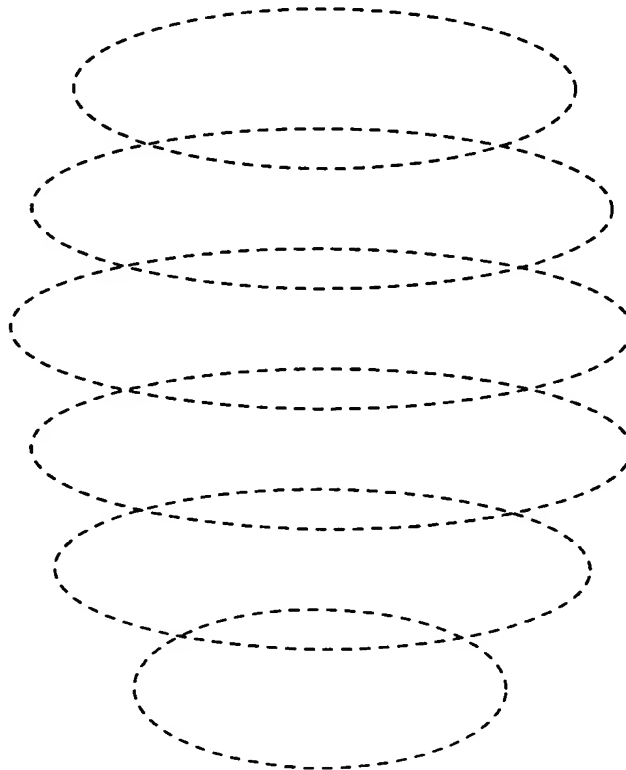


FIG. 53

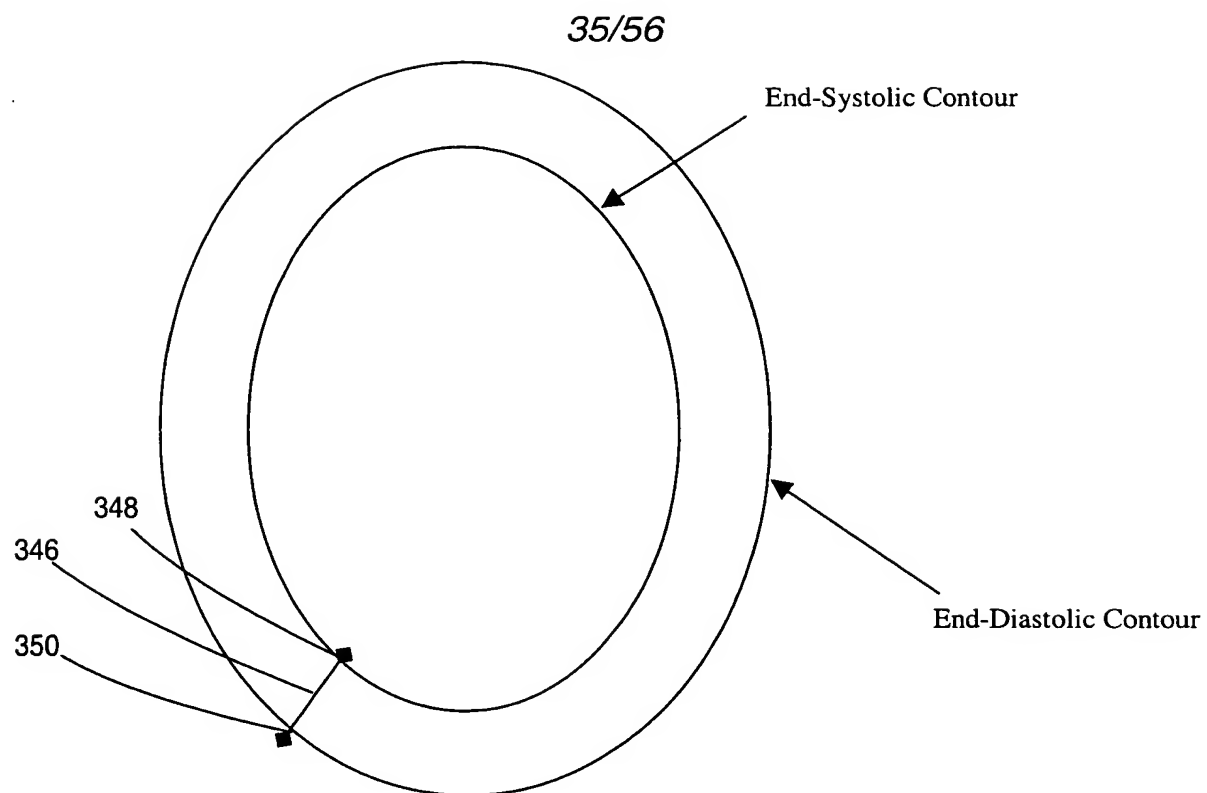


FIG. 54

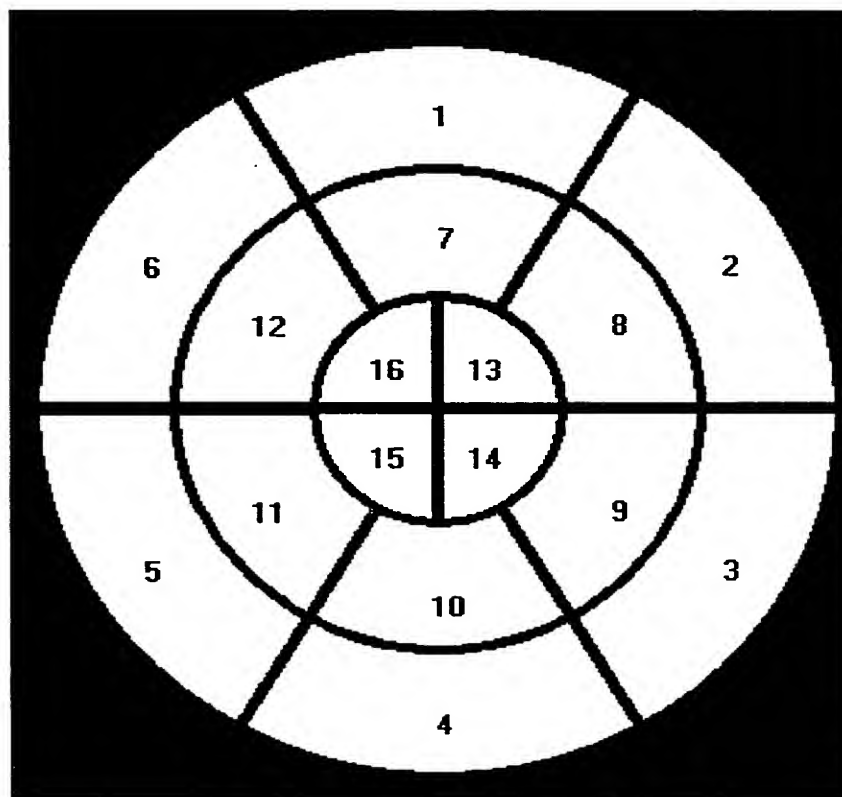
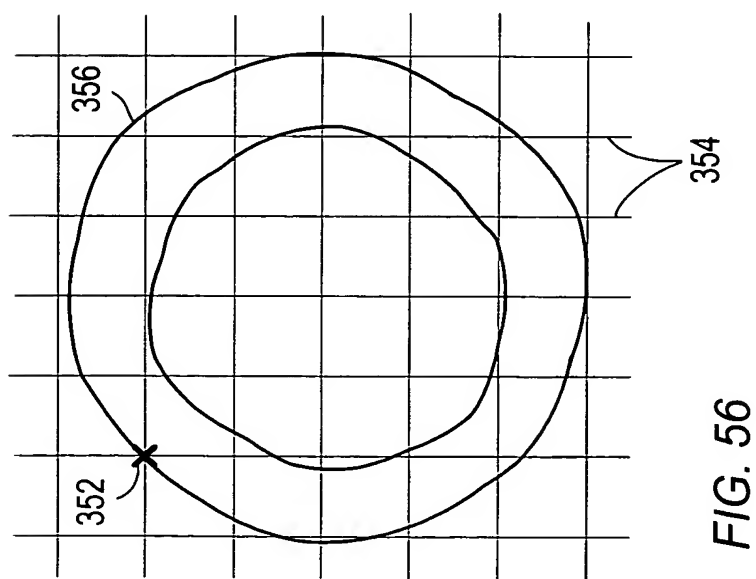
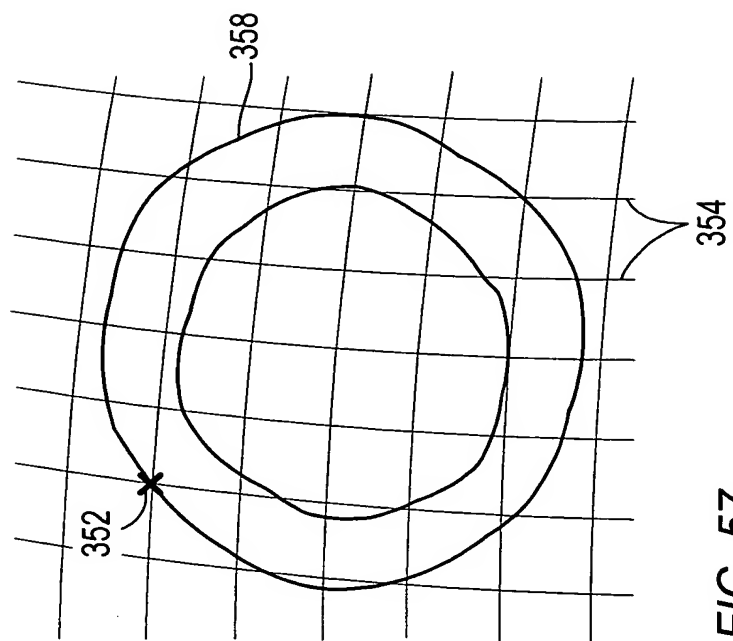


FIG. 55



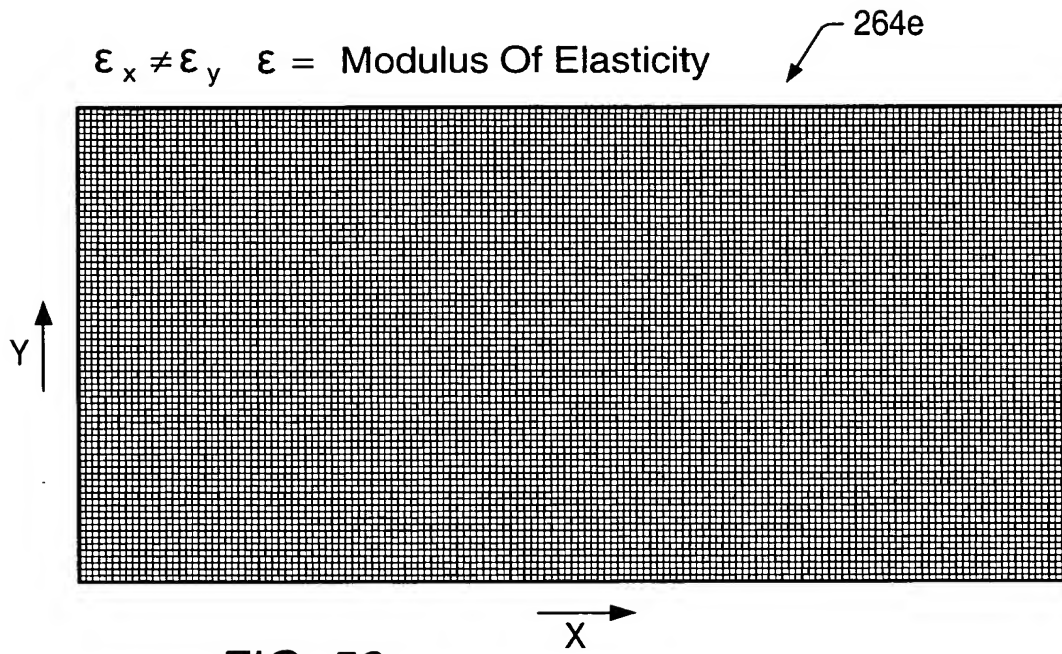


FIG. 58

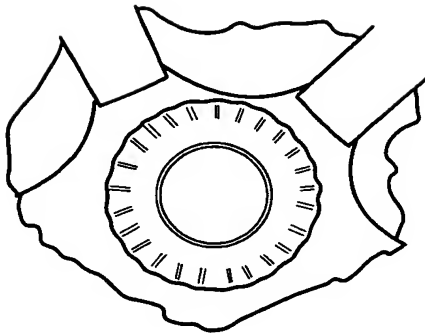


FIG. 59

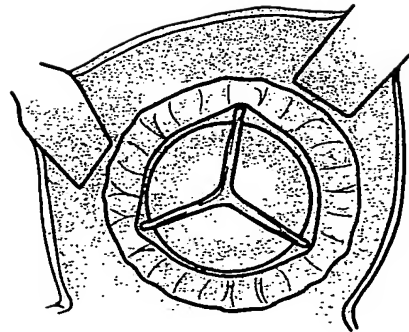


FIG. 60

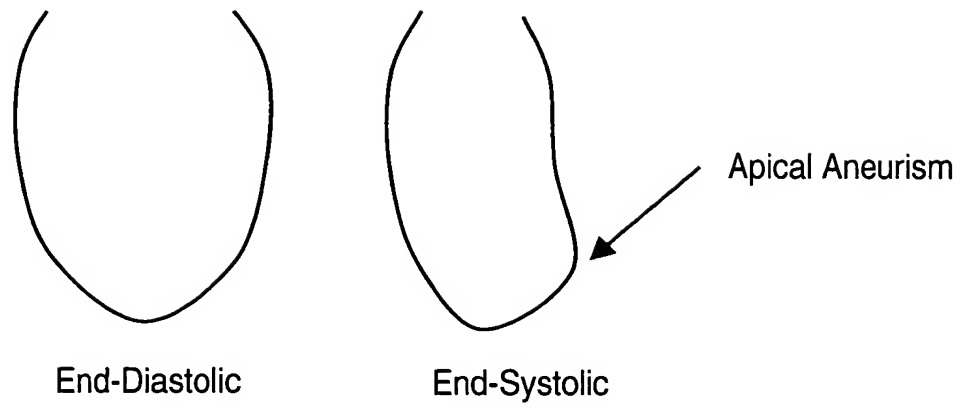


FIG. 61

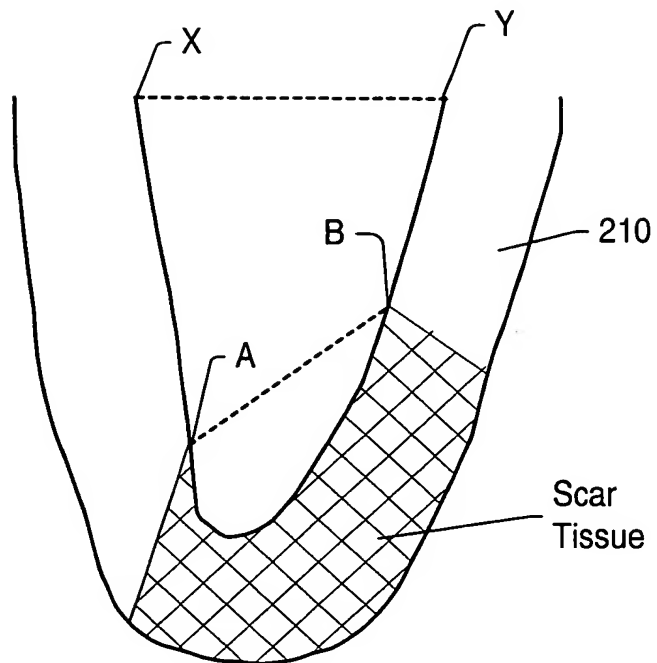


FIG. 62

-1	0	+1
-2	0	+2
-1	0	+1

G_x

+1	+2	+1
0	0	0
-1	-2	-1

G_y

FIG. 63

I₁₁	I₁₂	I₁₃	I₁₄	I₁₅	I₁₆	I₁₇	I₁₈	I₁₉
I₂₁	I₂₂	I₂₃	I₂₄	I₂₅	I₂₆	I₂₇	I₂₈	I₂₉
I₃₁	I₃₂	I₃₃	I₃₄	I₃₅	I₃₆	I₃₇	I₃₈	I₃₉
I₄₁	I₄₂	I₄₃	I₄₄	I₄₅	I₄₆	I₄₇	I₄₈	I₄₉
I₅₁	I₅₂	I₅₃	I₅₄	I₅₅	I₅₆	I₅₇	I₅₈	I₅₉
I₆₁	I₆₂	I₆₃	I₆₄	I₆₅	I₆₆	I₆₇	I₆₈	I₆₉

K₁₁	K₁₂	K₁₃
K₂₁	K₂₂	K₂₃

FIG. 64

P ₁	P ₂	P ₃
P ₄	P ₅	P ₆
P ₇	P ₈	P ₉

FIG. 65

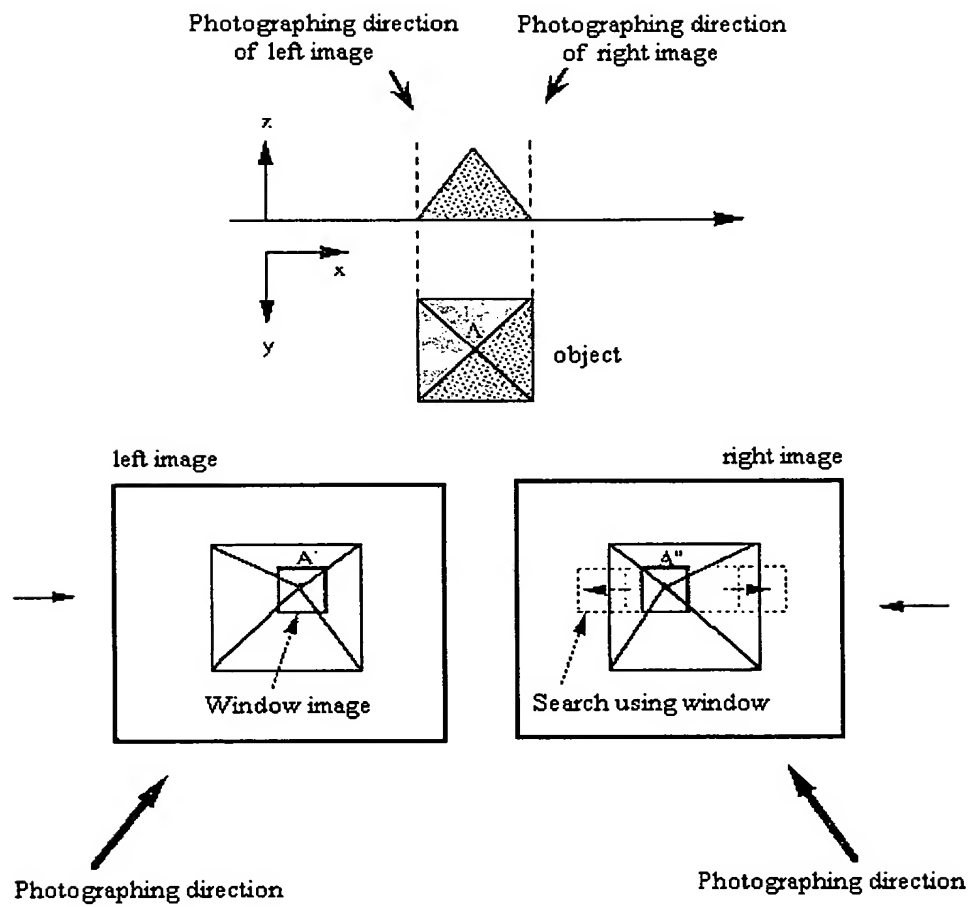


FIG. 66

41/56

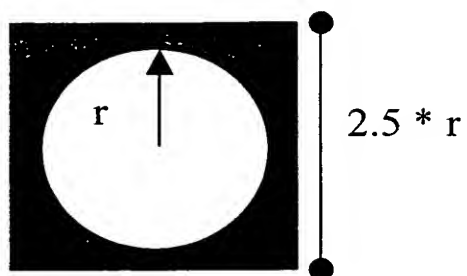


FIG. 67

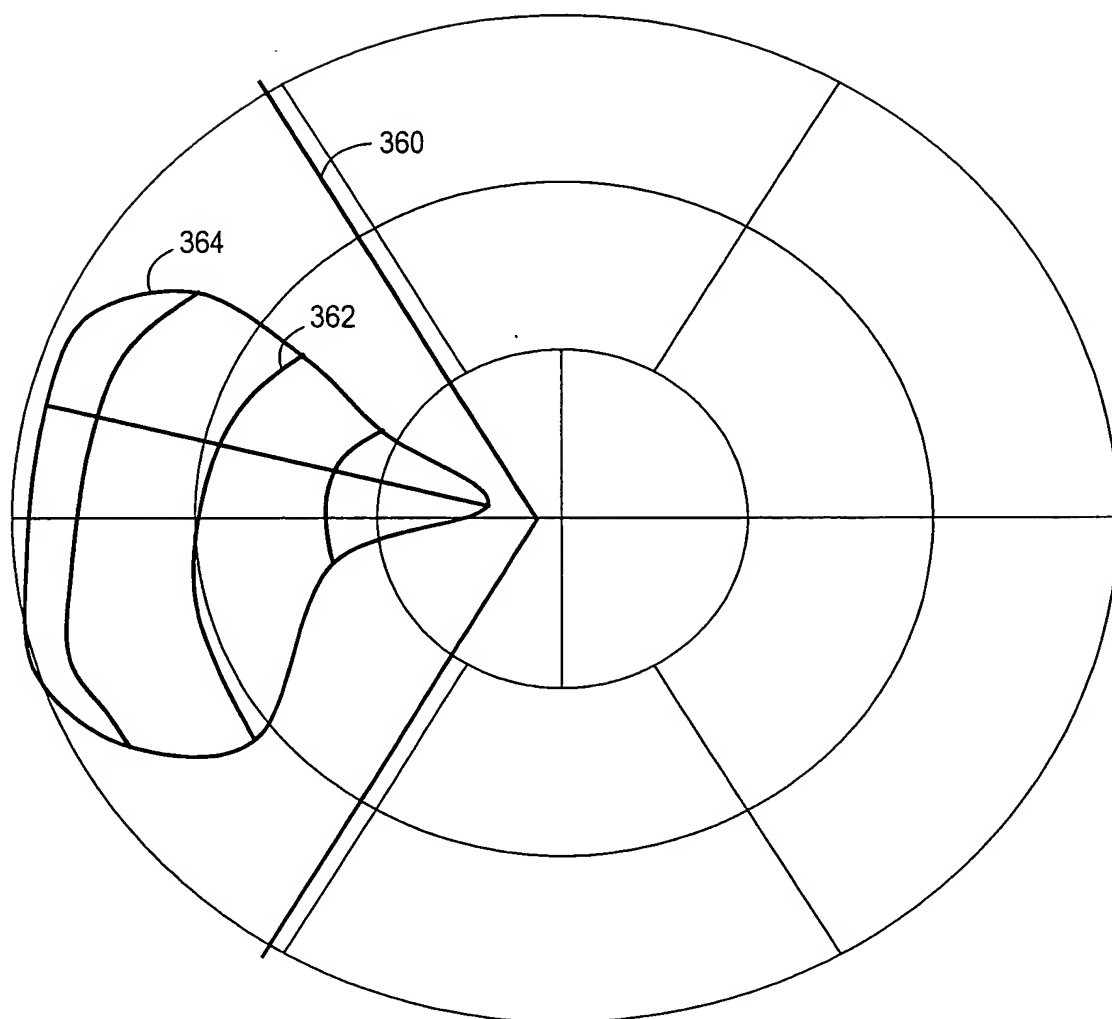


FIG. 68

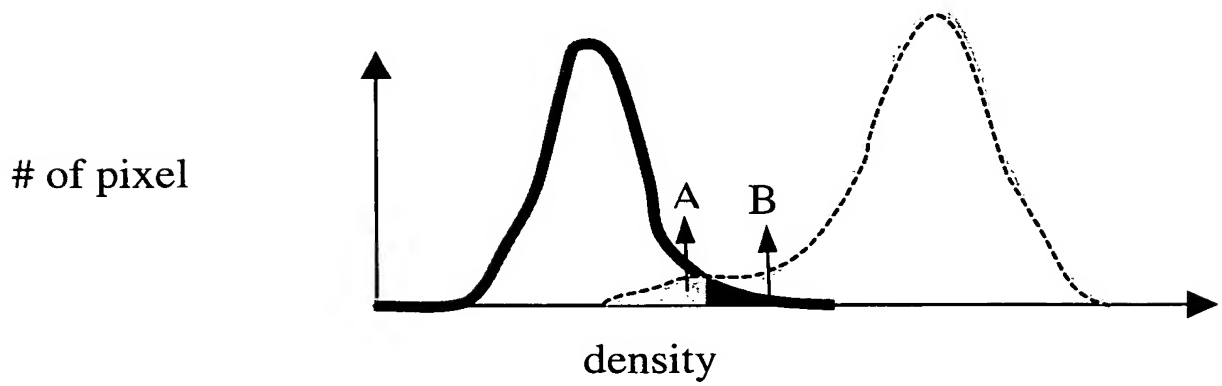
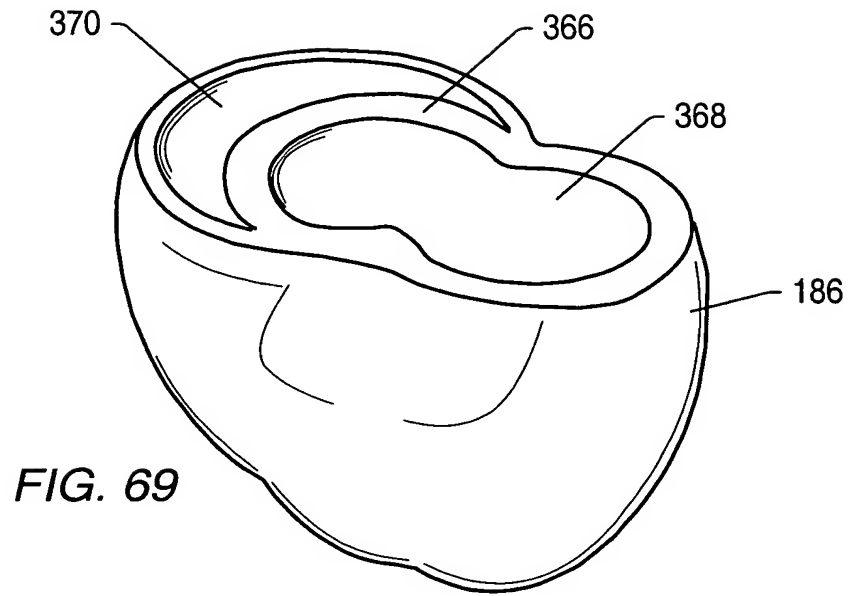


FIG. 70

43/56

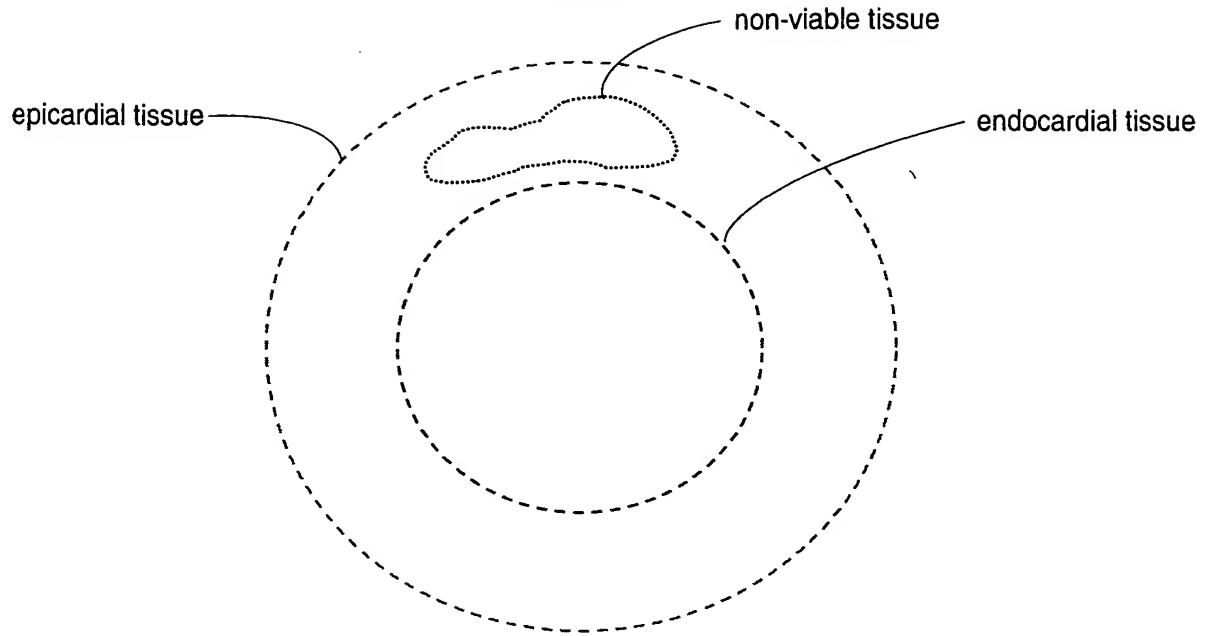


FIG. 71

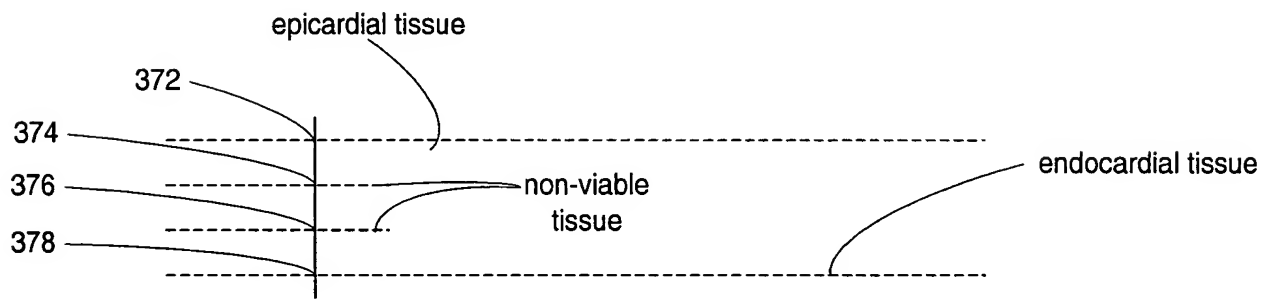


FIG. 72

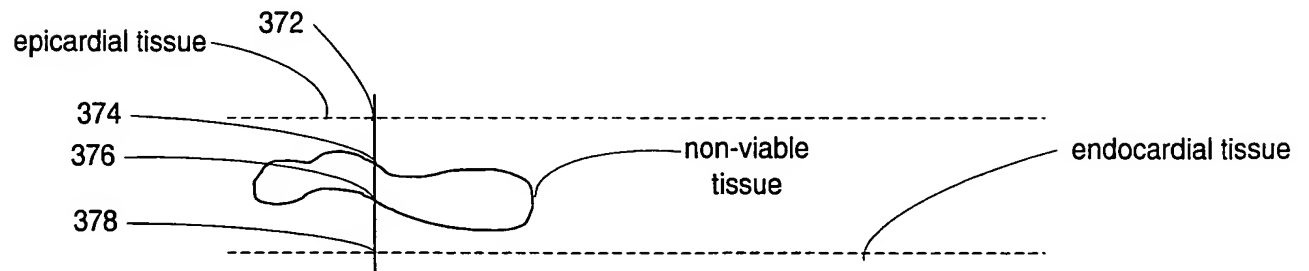


FIG. 73

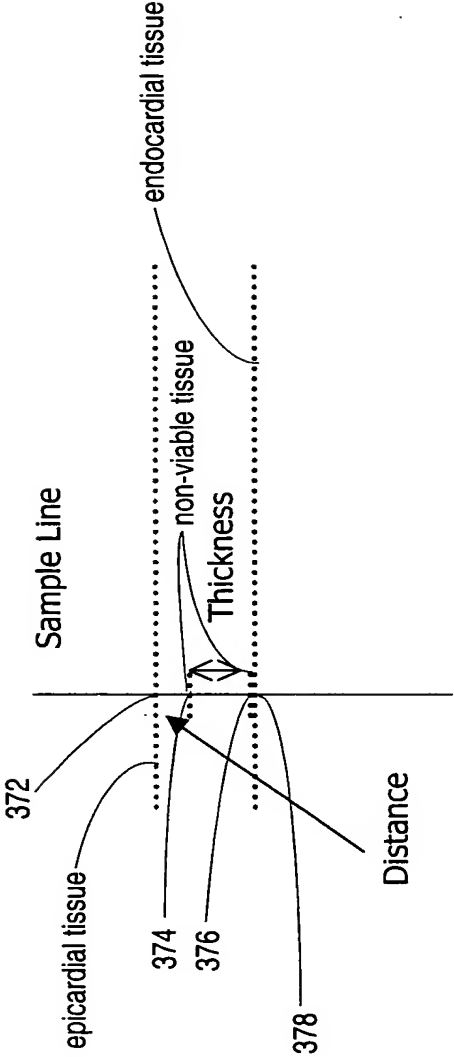


FIG. 74

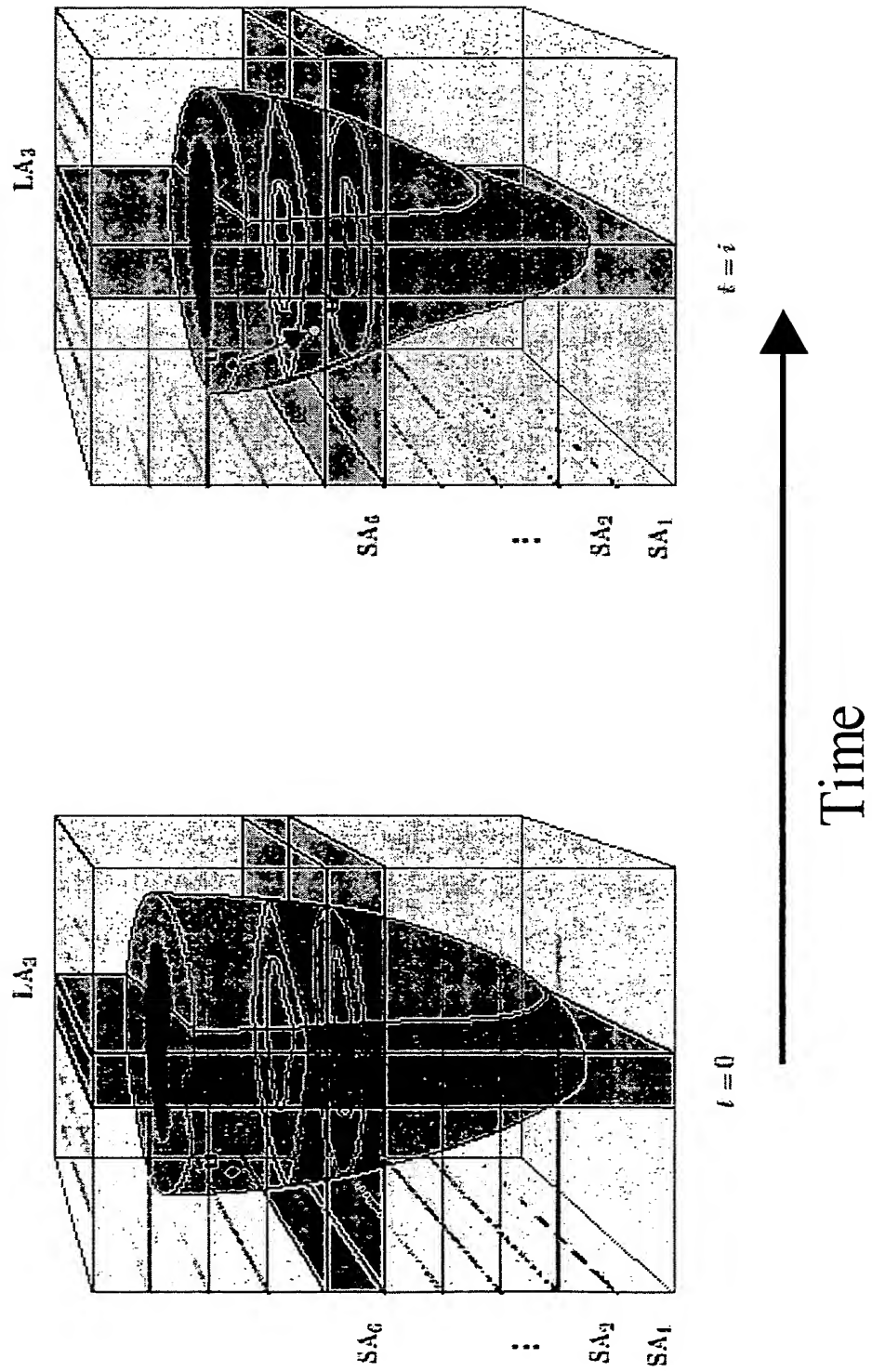
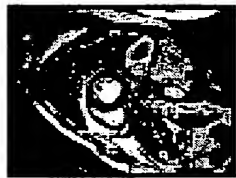
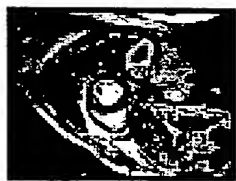


FIG. 75


 $I_{2,nPhase-1} \quad I_{2,nPhase-2} \quad I_{2,nPhase-1}$

 $I_{2,1} \quad I_{2,2} \quad I_{2,3}$

...

FIG. 76

47/56



FIG. 77



FIG. 78

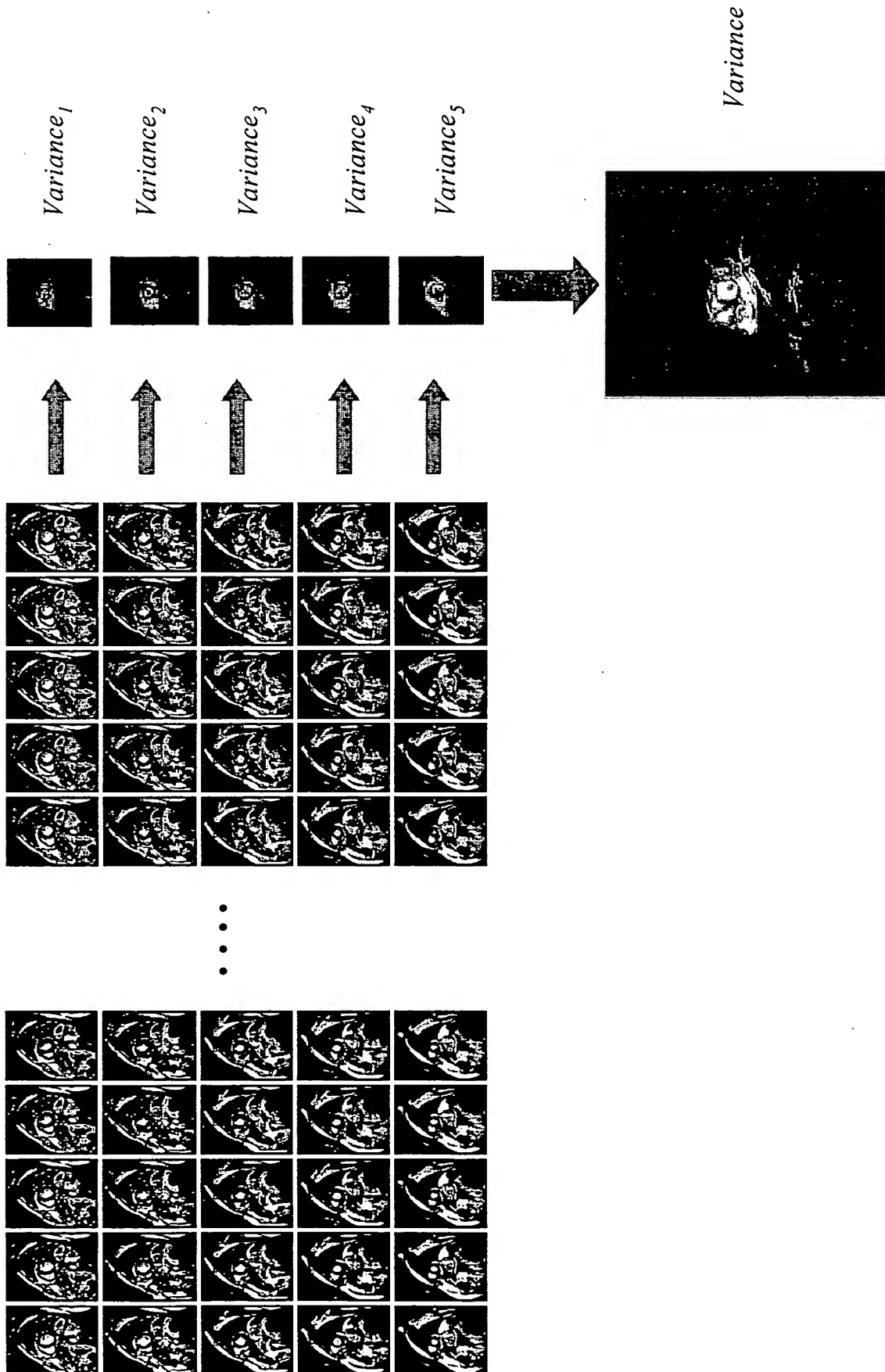


FIG. 79

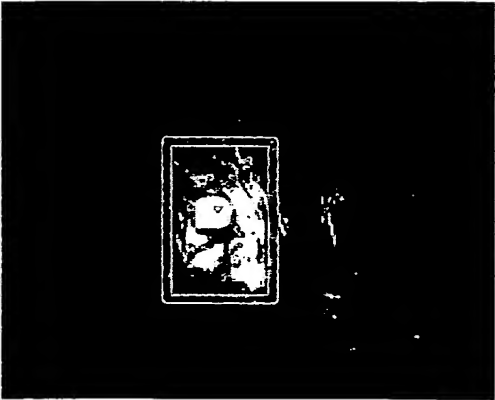


FIG. 80

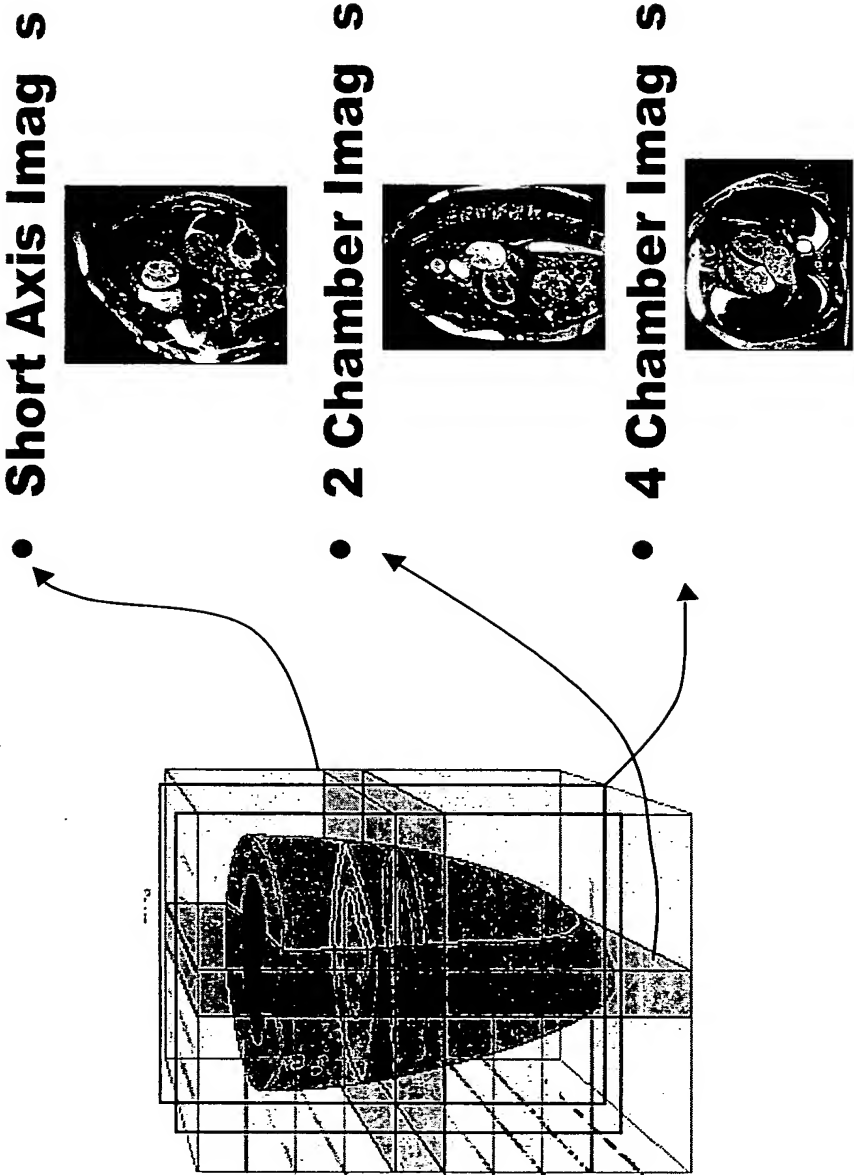


FIG. 81



FIG. 82

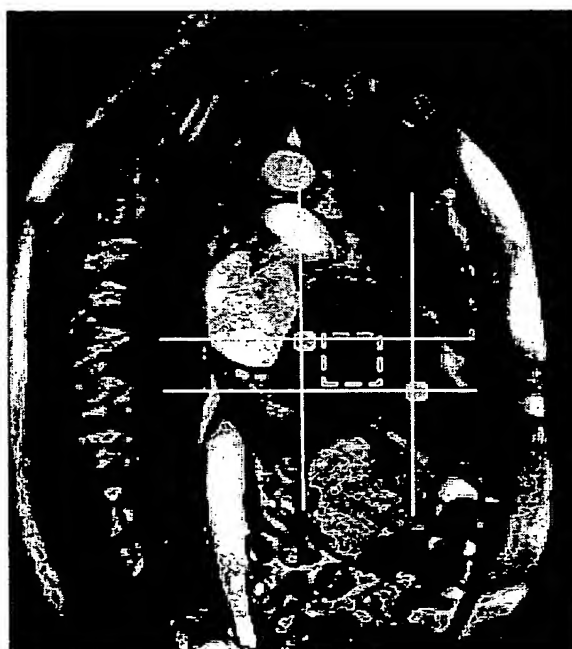


FIG. 83

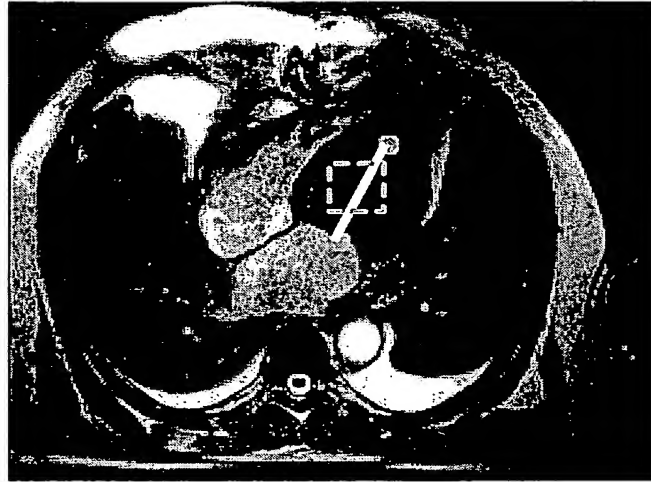


FIG. 84

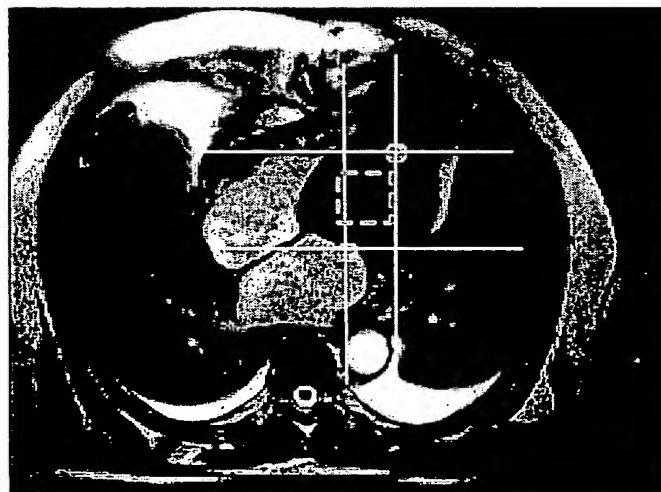


FIG. 85

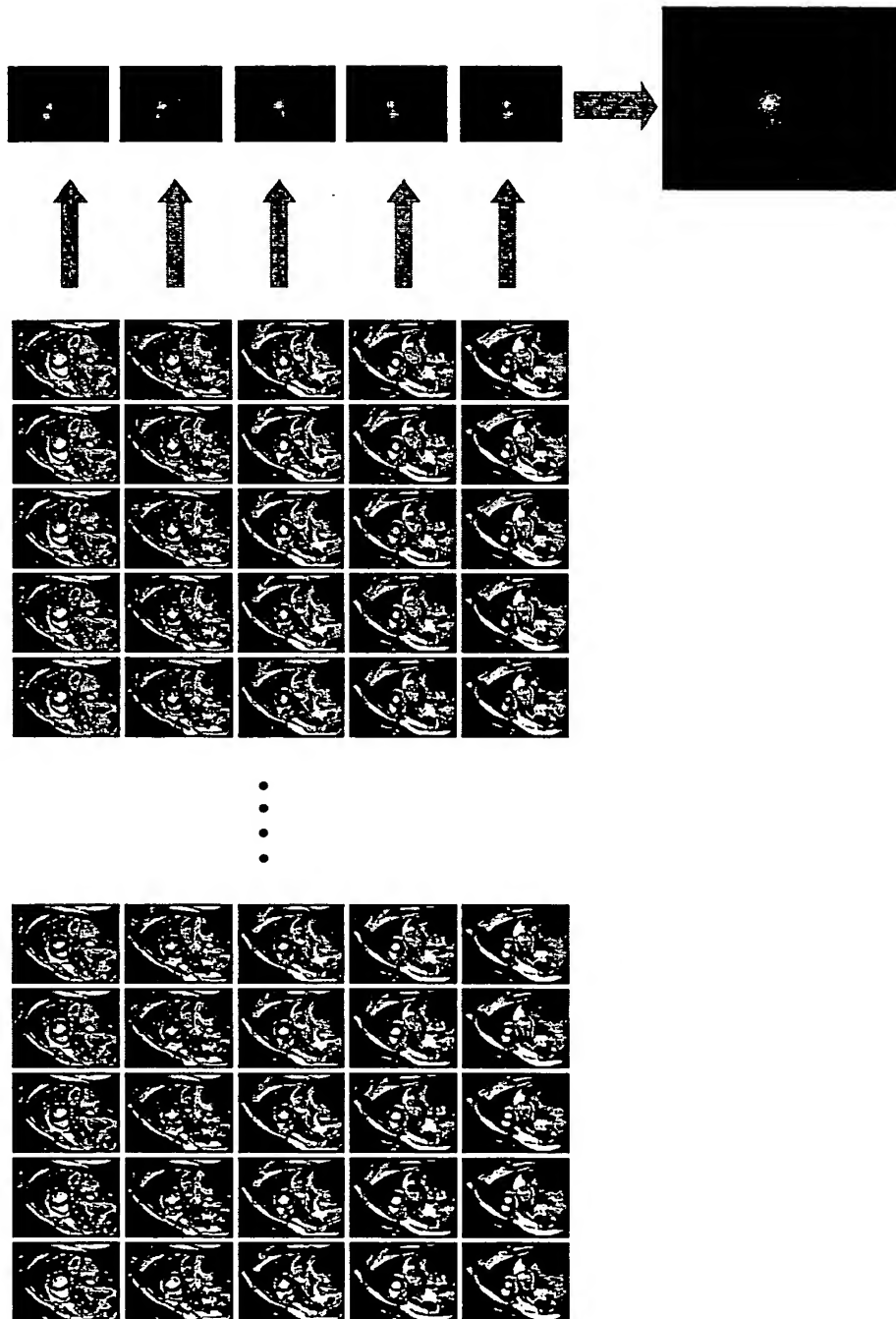
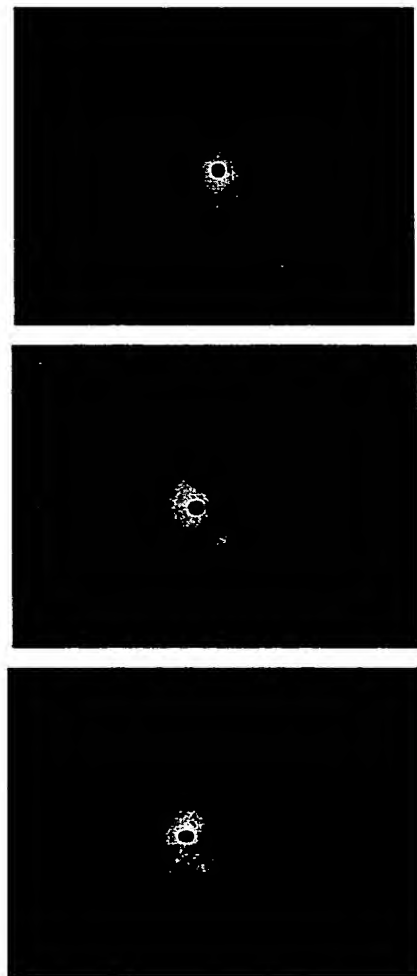
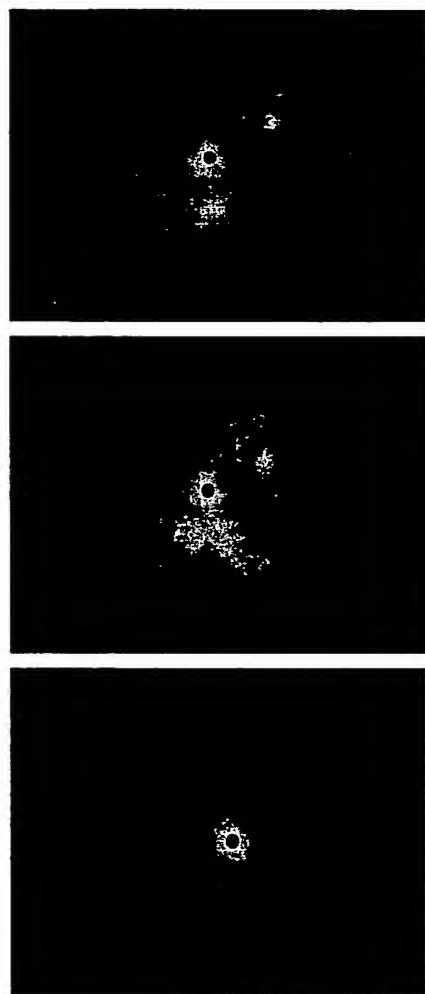


FIG. 86



● Intersection short axis and long axis

FIG. 87



● Centre located.

FIG. 88

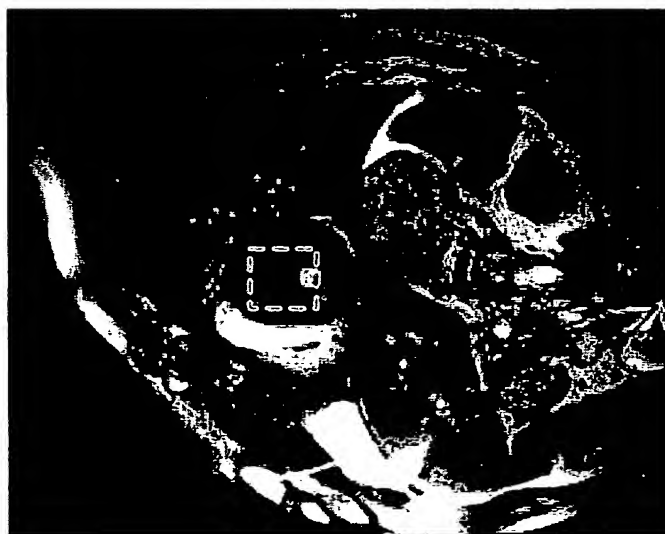


FIG. 89

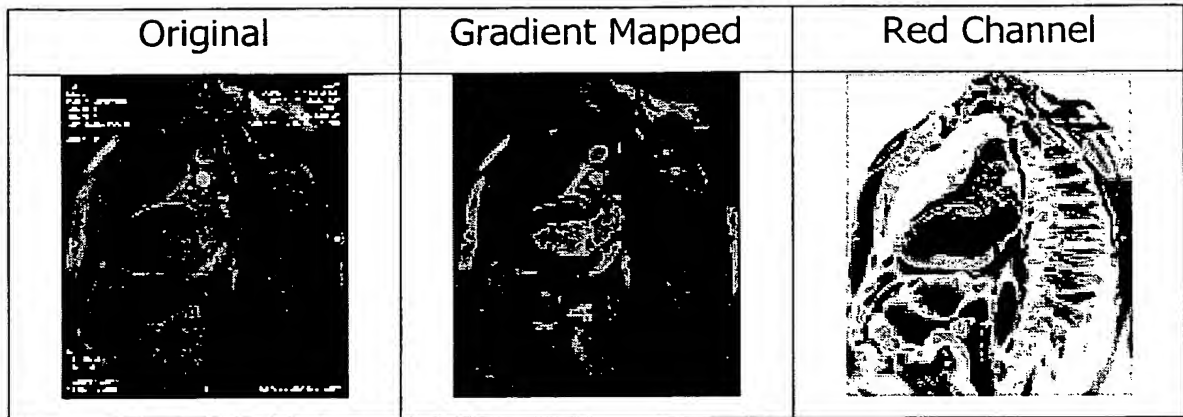


FIG. 90

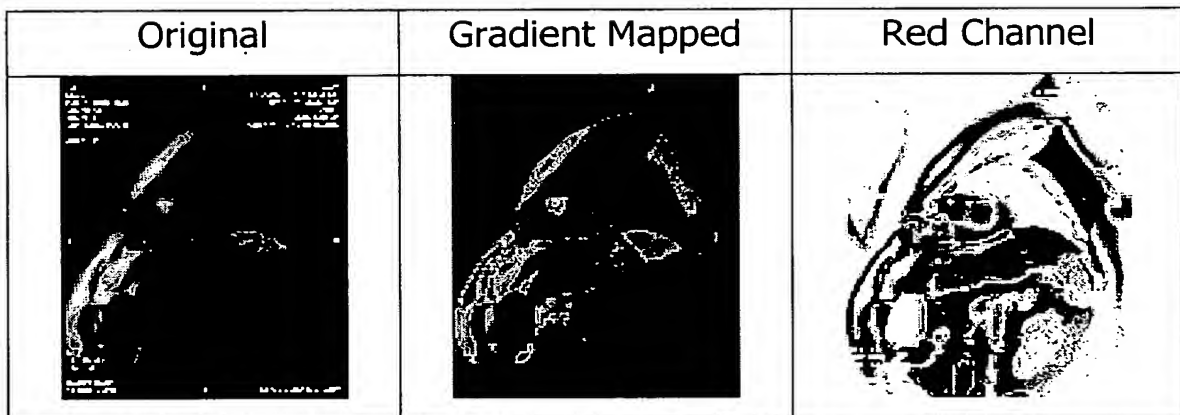


FIG. 91

